#### **ANGIO UPDATE 2024**

15. und 16. März

pAVK: Operativ

Ralph-Ingo Rückert, Berlin

#### Interessenkonflikte

Forschungsunterstützung: kein Konflikt

Vortragstätigkeit: kein Konflikt

Beratertätigkeit: kein Konflikt

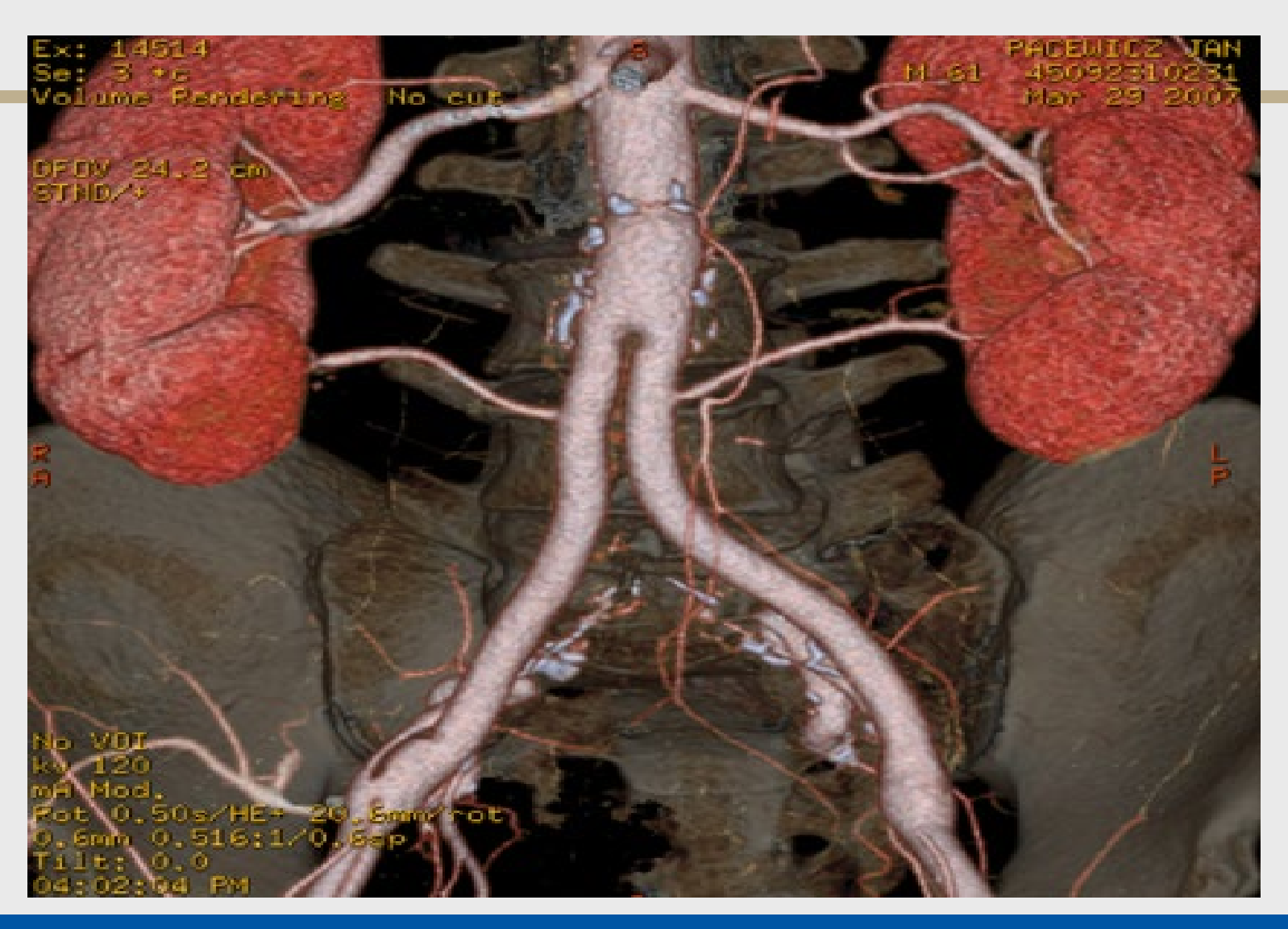
#### Aortoiliakales Segment

#### State of the Art

#### Methoden der offenen Revaskularisation

- Suprainguinaler Bypass
  - Aortofemoral (AFB)
  - Axillofemoral (AXB)
- (Thrombendarteriektomie)
- "Hybrid"-OP

#### State of the Art



# Aortobifemoraler Bypass: Ergebnisse in Abhängigkeit von proximaler Anastomose

Shah SS et al., Ann Vasc Surg. 2023;97:66-73

- Optimale Konfiguration der proximalen Anastomose?
- End-zu-End (EE)- oder Seit-zu-End (SE)-Konfiguration
- Datenbank der VQI (Vascular Quality Initiative)
- ABF-Operationen zwischen 2009 und 2020
- univariate und multivariate logistische Regressionsanalyse
- perioperative und 1-Jahres-Ergebnisse EE- vs. SE-Anastomose
- 6782 Patienten mit ABF (medianes Alter 60 Jahre)
- 3524 (52 %) mit proximaler EE-, 3258 (48 %) mit SE-Anastomose

Shah SS et al., Ann Vasc Surg. 2023;97:66-73
Univariate Analyse, perioperative Ergebnisse

	Graft origin artery			
Outcomes	End to side $(N = 3,191)$	End to end $(N = 3,440)$	Total $(N = 6,782)$	P value <sup>a</sup>
Estimated blood loss	762.4 (1,050.9)	837.7 (885.6)	801.6 (969.1)	< 0.01
Total procedure time, min	272.3 (108.3)	280.5 (129.1)	276.5 (119.6)	< 0.01
Graft type				< 0.0001
Dacron	2484 (76.6)	2874 (81.8)	5,358 (79.3)	
Polytetrafluoroethylene	729 (22.5)	613 (17.4)	1,342 (19.9)	
Nonautologous biologic	20 (0.6)	15 (0.4)	35 (0.5)	
Saphenous vein	4 (0.1)	1 (0.0)	5 (0.1)	
Deep vein	2 (0.1)	8 (0.2)	10 (0.1)	
Composite prosthetic-vein	2 (0.1)	3 (0.1)	5 (0.1)	
Graft origin graft diameter	14.2 (3.9)	14.9 (2.6)	14.6 (3.4)	< 0.0001
Extubation in operating room	2552 (80.3)	2655 (77.4)	5,207 (78.8)	< 0.01
Vasopressors required postoperation	496 (15.6)	657 (19.1)	1,153 (17.4)	< 0.01
Transfusion units PRBC	1.1 (2.2)	1.2 (2.3)	1.1 (2.3)	0.35
Change of renal function	286 (8.8)	405 (11.5)	691 (10.2)	< 0.01
Myocardial infarction	83 (2.5)	83 (2.4)	166 (2.4)	0.61
Dysrhythmia	217 (6.7)	224 (6.4)	441 (6.5)	0.61
Postoperative CHF	100 (3.1)	105 (3.0)	205 (3.0)	0.82
Return to operating room	333 (10.2)	308 (8.7)	641 (9.5)	0.04
Wound complication	118 (3.6)	124 (3.5)	242 (3.6)	0.82
Leg ischemia/emboli	102 (3.2)	98 (2.9)	200 (3.0)	0.40
Amputation	111 (3.4)	99 (2.8)	210 (3.1)	0.16
Graft infection	10 (0.3)	15 (0.4)	25 (0.4)	0.42
Respiratory complications	247 (7.6)	238 (6.8)	485 (7.1)	0.42

Shah SS et al., Ann Vasc Surg. 2023;97:66-73
Univariate Analyse, perioperative Ergebnisse

	Graft ori	Graft origin artery				
Outcomes	End to s	ide ( $N = 3,191$ )	End to end (A	V = 3,440	Total ( $N = 6,782$ )	P value <sup>a</sup>
Estimated blood loss Total procedure time, min Graft type	272.3 (	,	837.7 (885.6 280.5 (129.3	1)	801.6 (969.1) 276.5 (119.6)	< 0.01 < 0.01 < 0.0001
Dacron Polytetrafluoroethylene Nopautologous biologic	2484 (* 729 (* 20 (*	22.5)	2874 (81.8) 613 (17.4)		5,358 (79.3) 1,342 (19.9)	
Ergebnis		SE(n=	3191)	EE (	n=3440)	р
Extubation im OP		80,3	3%	7	7,4%	< 0,01
Beeinträchtigung de Nierenfunktion	er	8,8	%	1	1,5%	< 0,01
Kreislaufunterstützu	ng	15,6	6%	19	9,1%	< 0,01
Unerwartete Revision	nen	10,2	2%	8	3,7%	= 0,037
Amputation Graft infection Respiratory complications	111 (i 10 (i 247 (i	0.3)	99 (2.8) 15 (0.4) 238 (6.8)		210 (3.1) 25 (0.4) 485 (7.1)	0.16 0.42 0.42

Shah SS et al., Ann Vasc Surg. 2023;97:66-73
Univariate Analyse, 1-Jahres-Ergebnisse

	Graft origin artery			
Outcomes	End to side	End to end	Total	P value <sup>a</sup>
Patency				< 0.01
Primary patency	2667 (87.5)	2813 (90.2)	5,480 (88.9)	
Primary-assisted patency	62 (2.0)	65 (2.1)	127 (2.1)	
Secondary patency	70 (2.3)	49 (1.6)	119 (1.9)	
Occluded	92 (3.0)	57 (1.8)	149 (2.4)	
Major amputation	53 (1.6)	30 (0.9)	83 (1.3)	< 0.01
Graft revision	185 (5.9)	139 (4.2)	324 (4.9)	< 0.01
Thrombectomy revision	152 (4.6)	103 (3.1)	255 (3.9)	< 0.01
Infection	154 (4.9)	148 (4.4)	302 (4.7)	0.41
Symptoms				< 0.01
Asymptomatic	2702 (84.5)	2857 (87.3)	5,559 (85.9)	
Claudication	372 (11.6)	324 (9.9)	696 (10.8)	
Rest pain	68 (2.1)	49 (1.5)	117 (1.8)	
Tissue loss	57 (1.8)	44 (1.3)	101 (1.6)	

Shah SS et al., Ann Vasc Surg. 2023;97:66-73
Univariate Analyse, 1-Jahres-Ergebnisse

	Graft origin arte	ry			
Outcomes	End to side	End to end	Total	P value <sup>a</sup>	
Ergeb	nis	SE	EE	p	
Primäre Offe	nheitsrate	87,5%	90,2%	< 0,01	
Bypassrevis	sionsrate	8,8%	11,5%	< 0,01	
Claudicatio in	termittens	11,6%	9,9%	< 0,01	
Major-Amput	ationsrate	1,6%	0,9%	< 0,01	

Shah SS et al., Ann Vasc Surg. 2023;97:66-73
Multivariate Analyse, perioperative / 1-Jahres-Ergebnisse

	ES versus EE configuration reference = EE configuration			
Variables	OR (95% CI)	P value <sup>a</sup>		
Periprocedural outcomes				
Extubation in operating room	1.18 (1.02, 1.36)	< 0.01		
Vasopressors required	0.75 (0.65, 0.87)	< 0.01		
Change of renal function	0.75 (0.62, 0.90)	< 0.01		
Myocardial infarction	1.11 (0.77, 1.60)	0.56		
Dysrhythmia	1.11 (0.89, 1.39)	0.37		
Return to operating room				
Infection	1.11 (0.58, 2.11)	0.75		
Revision	1.73 (0.99, 2.99)	0.05		
Thrombosis	1.08 (0.69, 1.66)	0.74		
Wound complication	0.98 (0.71, 1.35)	0.88		
Leg ischemia	1.08 (0.77, 1.52)	0.66		
Outcomes at 1 year				
Amputation	1.95 (1.18, 3.23)	< 0.01		
Patency	0.86 (0.72, 1.04)	0.12		
Infection	0.78 (0.54, 1.13)	0.19		
Bypass revision	1.02 (0.78, 1.34)	0.86		
Current ambulation	0.99 (0.81, 1.20)	0.88		
Symptoms	1.11 (0.94, 1.31)	0.24		

Shah SS et al., Ann Vasc Surg. 2023;97:66-73
Multivariate Analyse, perioperative / 1-Jahres-Ergebnisse

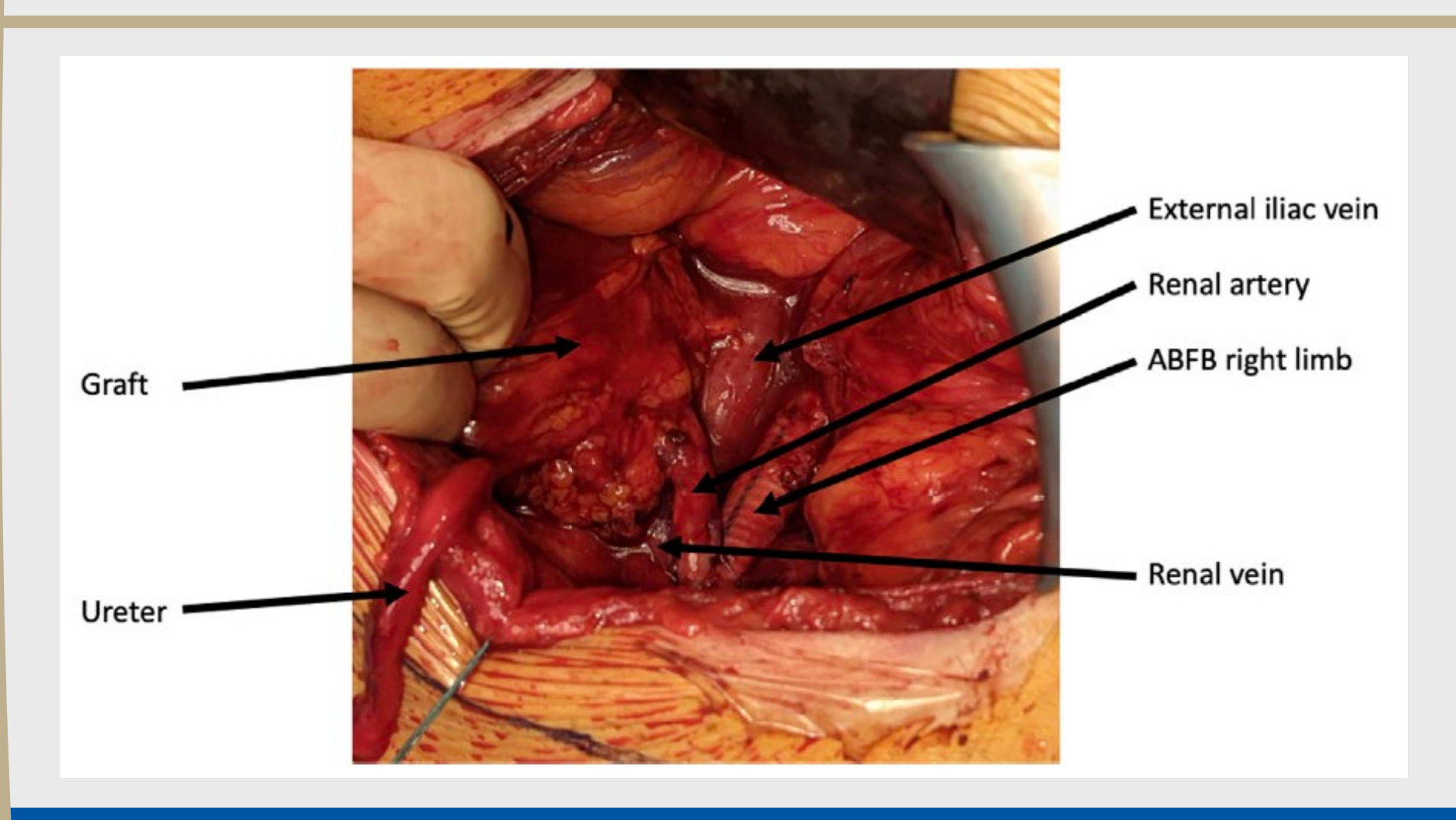
	ES versus EE config	ES versus EE configuration reference = EE configuration				
Variable	Odds Ratio	95% Konfidenzintervall	р			
Perioperative Ergebnisse						
Extubation im OP	1,18	1.02-1.36	< 0,01			
Vasopressoren	0,75	0,65 - 0,87	< 0,01			
Nierenfunktionsstörung	0,75	0,62 - 0,90	< 0,01			
1-Jahres-Ergebnisse						
Amputation	1,95	1,18 – 3,23	< 0,01			

#### Fazit für Klinik und Praxis AFB: proximale EE- vs. SE-Anasomose

- SE unmittelbar postop. ,physiologischer'?
  - Bessere Kaliberadaptation, technisch einfacher
  - Erhaltung Perfusion AMI, AII
- EE langfristig mit Vorteilen?
  - Bessere Hämodynamik
  - Höhere Offenheitsraten
  - Geringere Revisionsrate
- Größte Populations-basierte Studie in der EVT-Ära
- Längerfristiges Follow-up erfoderlich

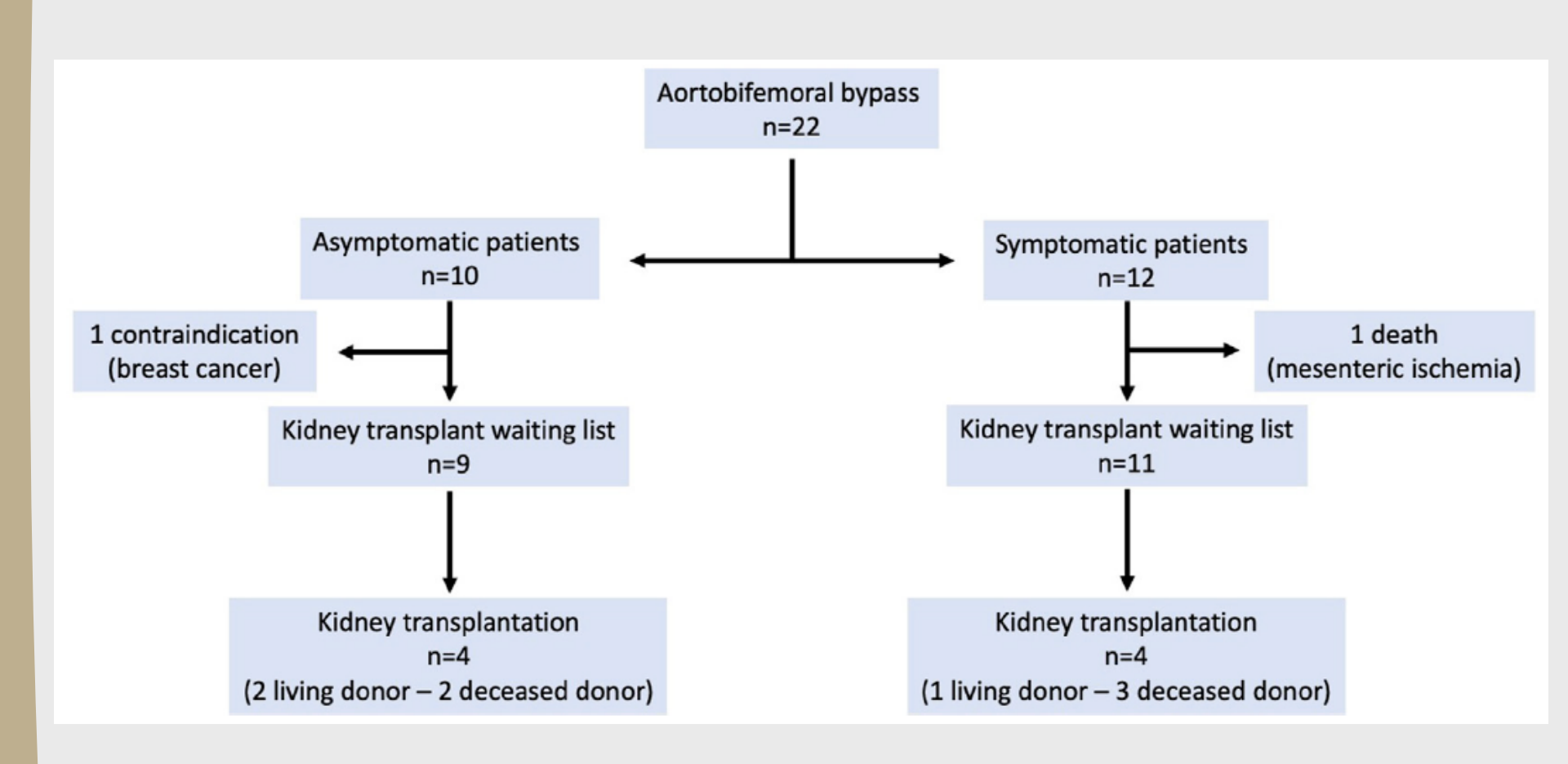
# Aortobifemoraler Bypass bei KandidatInnen für eine NTx: Erfahrung über 10 Jahre

Bonnin P et al., Transpl Int. 2024;37:12085



# Aortobifemoraler Bypass bei KandidatInnen für eine NTx: Erfahrung über 10 Jahre

Bonnin P et al., Transpl Int. 2024;37:12085



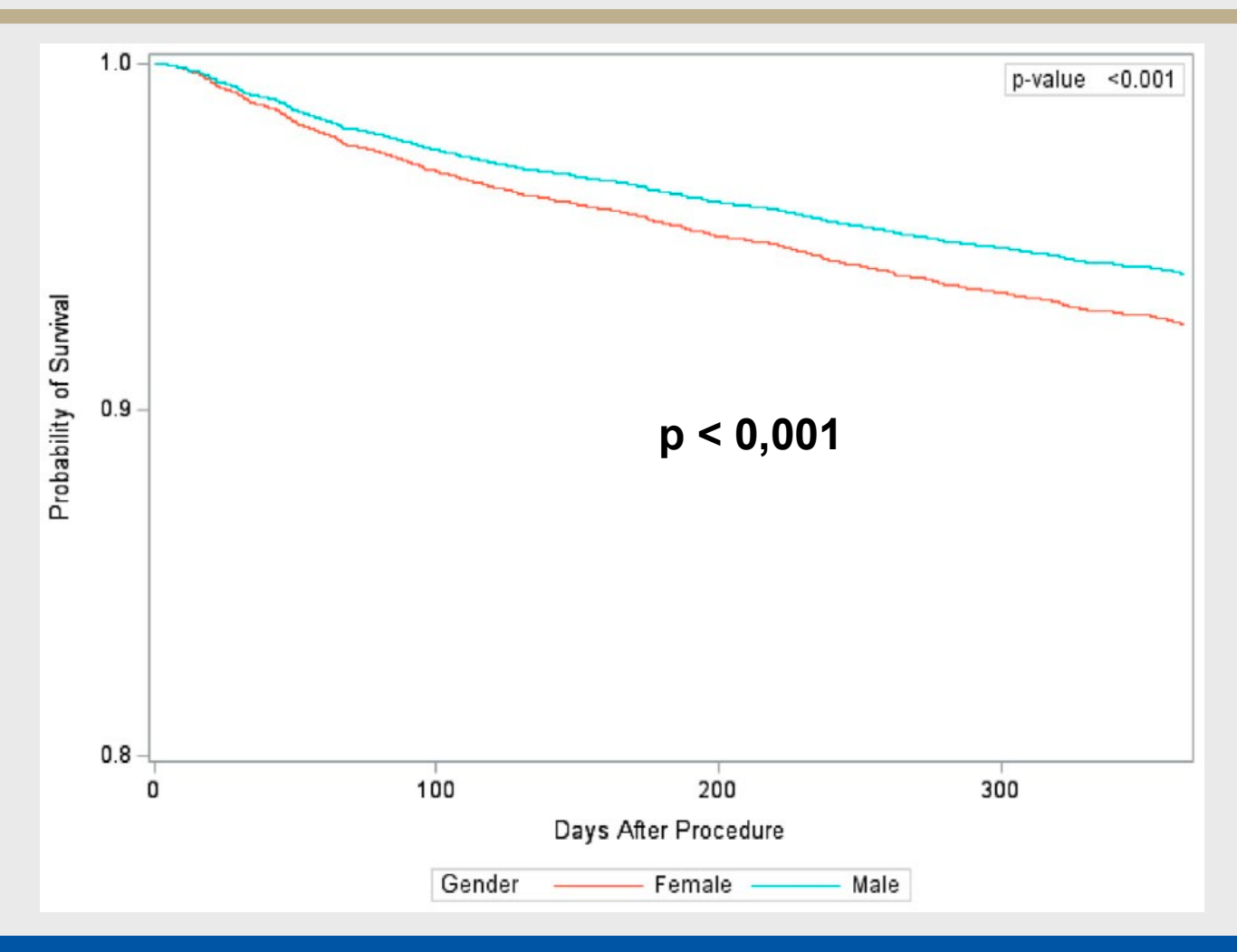
# Geschlechtsunterschiede bei PatientInnen mit operativer Therapie wegen aortoiliakaler PAVK

Lombardi ME et al., J Vasc Surg. 2023;78:1278-1285

- Retrospektive Analyse prospektiv erhobener Register-Daten
- VOI Datenbank 2012 bis 2019
- 16218 PatientInnen mit aortoiliakaler PAVK; AFB, TEA
- Binomiales Regressionsmodell: geschlechtsspezifische Risikodifferenzen (RDs)
- 30-Tages- und 1-Jahres Mortalität, Extremitätenerhalt
- Inzidenz chirurgischer Komplikationen, Verlängerung KH-Aufenthalt (> 10 die), Re-Ops, Beeinträchtigung der Nierenfunktion
- 6538 (40,3%) Patienten weiblich
- Kein signifikanter Unterschied der Mortalität bis zum 30. postop. Tag
- Weiblich: Erhöhte 1-Jahres-Mortalität; RD 0,014 (95%-KI 0,01–0,02; p < 0,001)</p>
- Männlich: häufiger Störung postop. Nierenfunktion; RD -0,02 (95 %-KI -0,03 bis -0,01; p < 0,001)</li>
- Keine weiteren Unterschiede bis zu 1 Jahr
- Ursachen für geschlechtsspezifische Unterschiede sollten weiter geklärt werden

# Geschlechtsunterschiede bei PatientInnen mit operativer Therapie wegen aortoiliakaler PAVK

Lombardi ME et al., J Vasc Surg. 2023;78:1278-1285



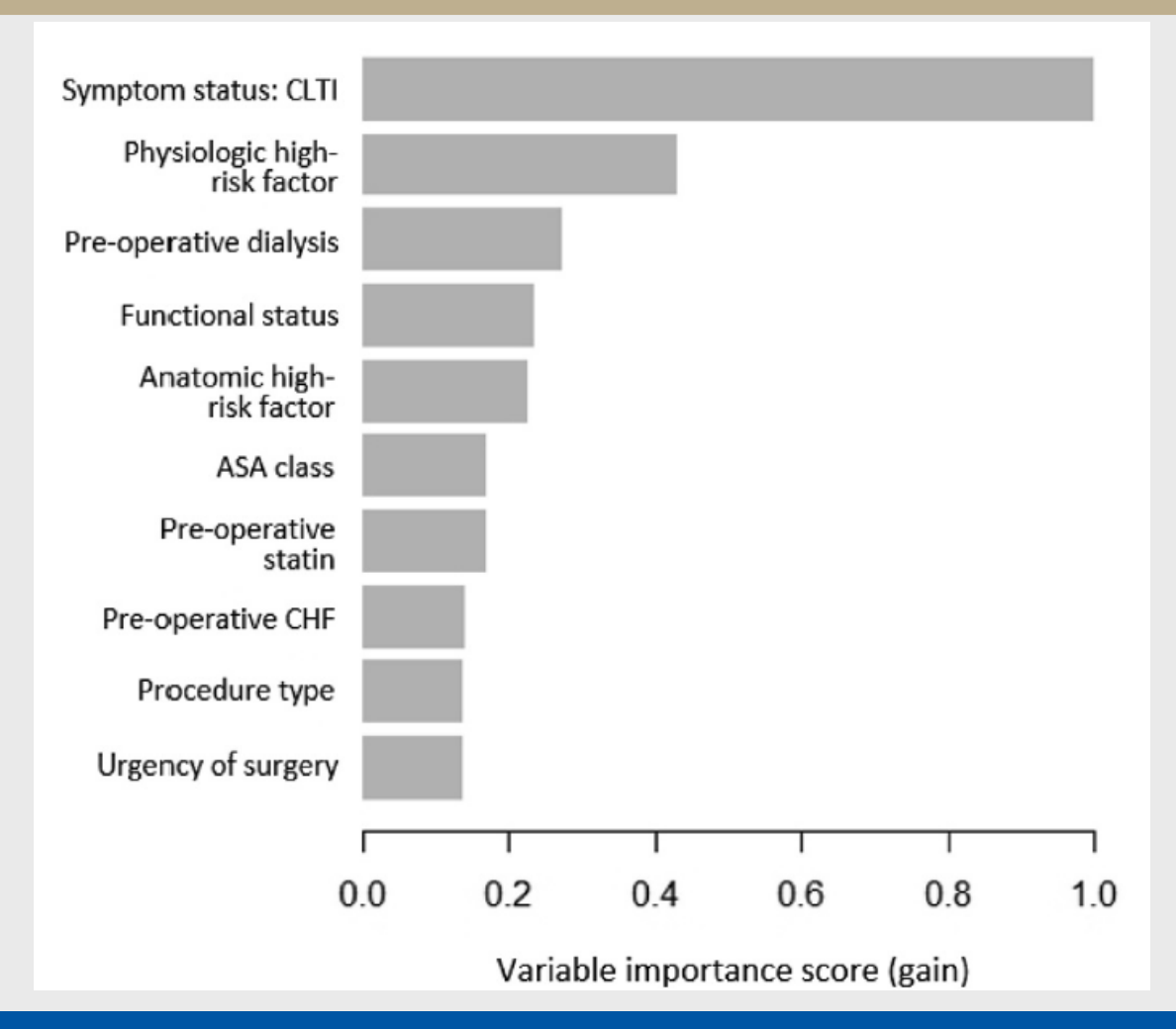
# Gefäßchirurgie wegen aortoiliakaler PAVK: Prognoseermittlung durch Machine Learning

Li B et al., J Vasc Surg. 2023;78:1449-1460

- Machine Learning (ML) Teilbereich der künstlichen Intelligenz, bei dem Computersysteme aus Daten lernen und sich mit der Erfahrung verbessern, ohne explizit programmiert zu werden.
- Mit ML Entwicklung automatisierter Algorithmen, die Prognose der 30-Tages-Ergebnisse nach offen aortoiliakaler Revaskularisation ermöglichen
- National Surgical Quality Improvement Program NSQIP 2011 2021
- Eingangsmerkmale: 38 präoperative demografische und klinische Variablen
- Primärer Endpunkt: 30-Tage-MALE oder Tod
- Sekundäre Endpunkte: 30-Tage-Komponenten des primären Endpunktes, MACE inklusive Komponenten, Wundkomplikationen, Blutungen, weitere Morbiditätsfaktoren, die nicht mögliche Entlassung in die Häuslichkeit und ungeplante stationäre WA
- Mittels geeigneter Verfahren (10-fache Kreuzvalidierung) Training von 6 ML-Modellen
- Evaluation der Modelle: Fläche unter der Kurve (area under the receiver operating characteristic curve - AUROC)
- Scores für die Bedeutung der Variablen berechnet, um die Top 10 Merkmale mit dem höchsten Vorhersagewert zu ermitteln

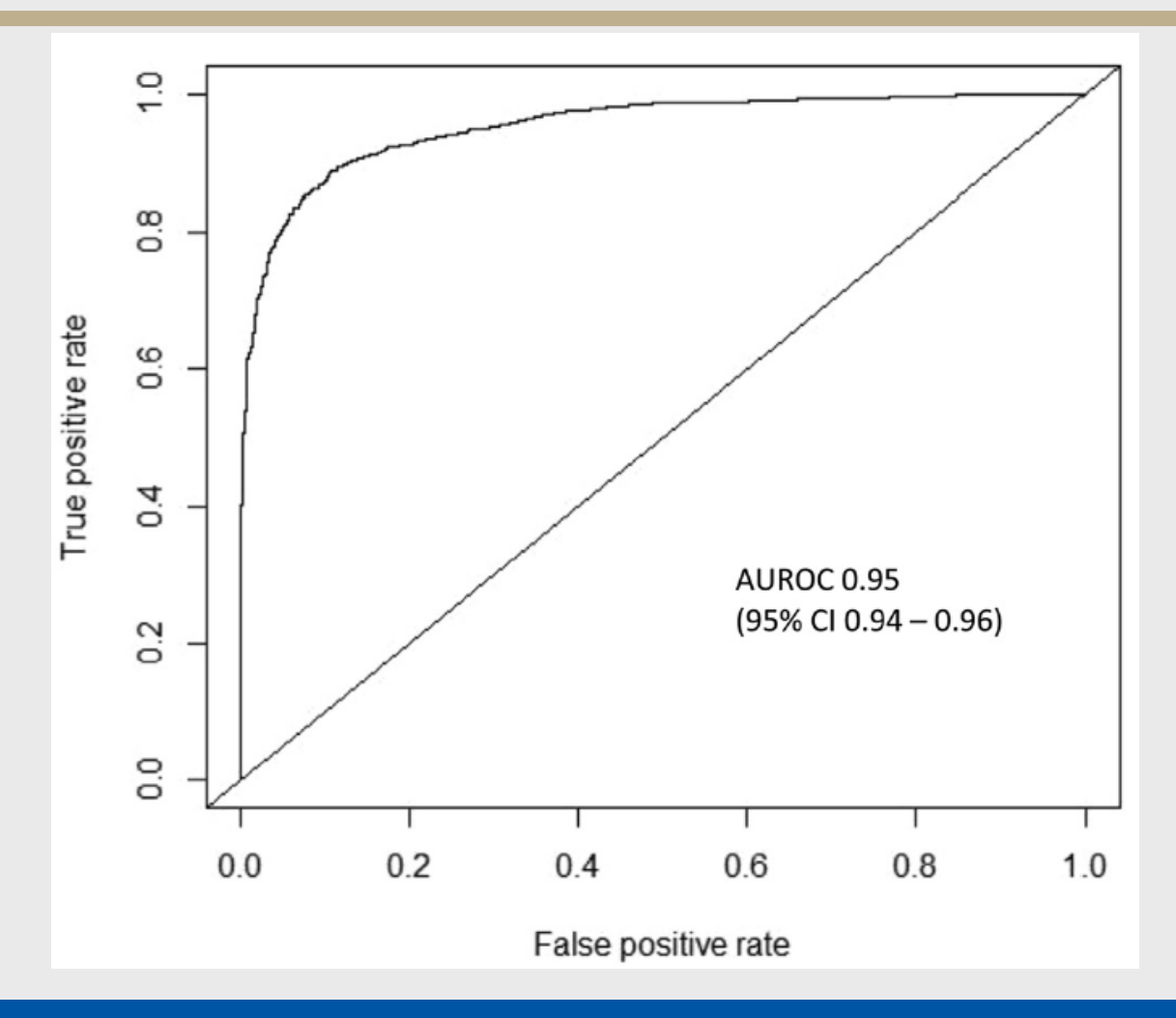
#### Gefäßchirurgie bei aortoiliakaler PAVK: Prognoseermittlung durch ML Li B et al., J Vasc Surg. 2023;78:1449-1460

Variable Importance Scores für Top 10 Prädiktoren für 30-Tage MALE oder Tod nach offener aortoiliakaler Revaskularisation im (XGBoost) Modell



#### Gefäßchirurgie bei aortoiliakaler PAVK: Prognoseermittlung durch ML Li B et al., J Vasc Surg. 2023;78:1449-1460

Receiver operating characteristic curve zur Vorhersage von 30-Tage MALE oder Tod nach offener aortoiliakaler Revascularization mit dem Extreme Gradient Boosting (XGBoost) Modell

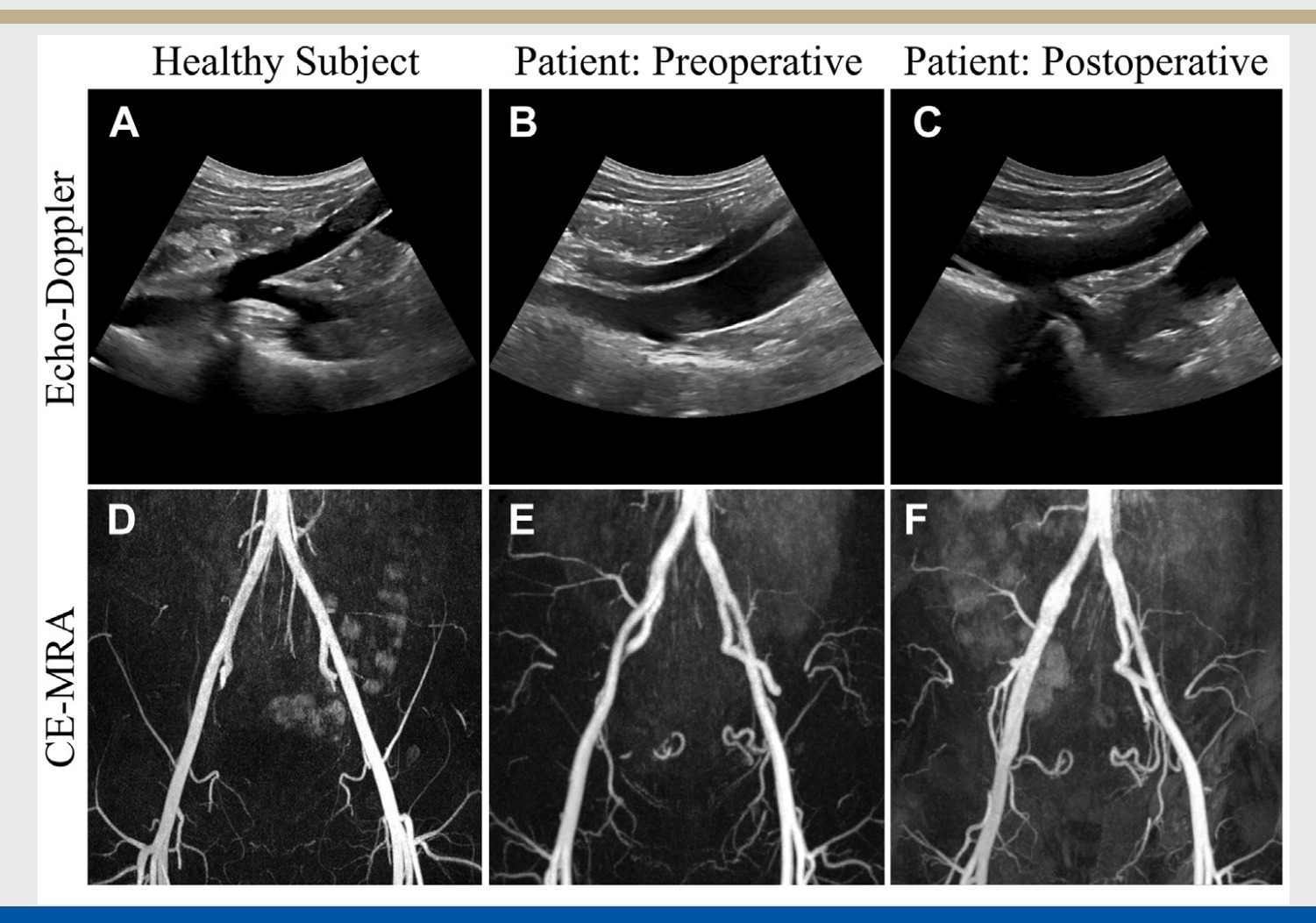


# Gefäßchirurgie wegen aortoiliakaler PAVK: Prognose durch Machine Learning

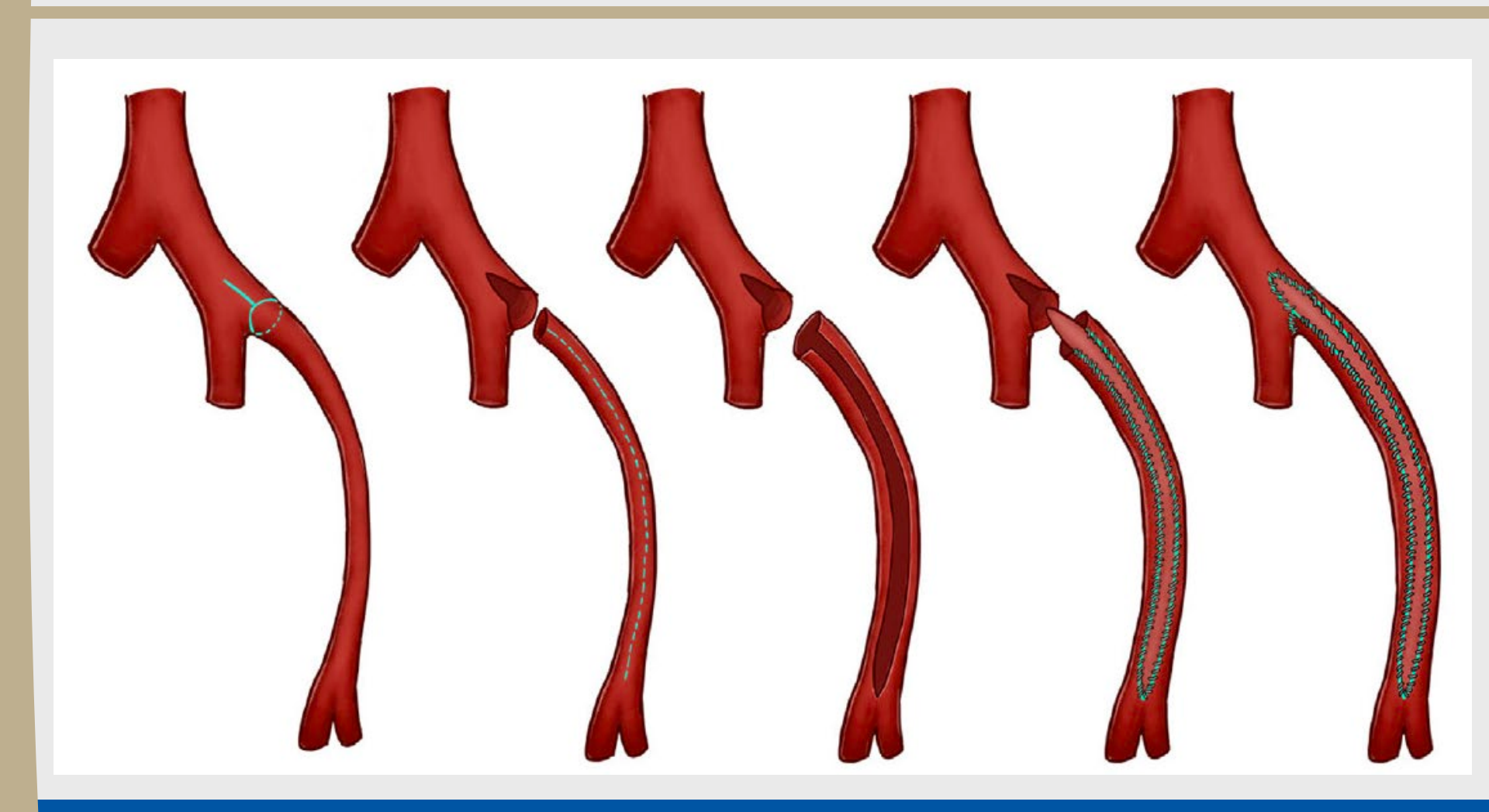
Li B et al., J Vasc Surg. 2023;78:1449-1460

- Insgesamt wurden 9.649 PatientInnen eingeschlossen
- Primäre Endpunkt (30-Tage-MALE oder Tod) trat für 1.021 PatientInnen (10,6 %) ein
- Das Vorhersage-Modell mit der besten Performance für das Eintreten des primären Endpunktes war XGBoost, mit einer AUROC von 0,95 (95 %-Konfidenzintervall [CI] 0,94–0,96)
- Im Vergleich dazu erreichte die logistische Regression eine AUROC von 0,79 (95 %-CI 0,77–0,81)
- Hinsichtlich der sekundären Endpunkte (nach 30 Tagen) erreichte XGBoost AUROCs zwischen 0,87 and 0,97
  - unbehandelter Verschluss [0,95], größere Reintervention [0,88], Majoramputation [0,96], Tod [0,97], MACE [0,95], Myokardinfarkt [0,88], Schlaganfall [0.93], Wundkomplikationen [0,94], Blutung [0,87], weitere Morbiditätsfaktoren [0,96], nicht mögliche Entlassung in die Häuslichkeit [0,90] und ungeplante Wiederaufnahme [0,91]
- CLTI war stärkstes prädiktives Merkmal des Algorithmus
- Performance des Modells blieb robust für alle Subgruppenanalysen spezifischer demografischer und klinisch definierter Populationen

van Hooff M et al., J Vasc Surg. 2023;78:514-524.e2

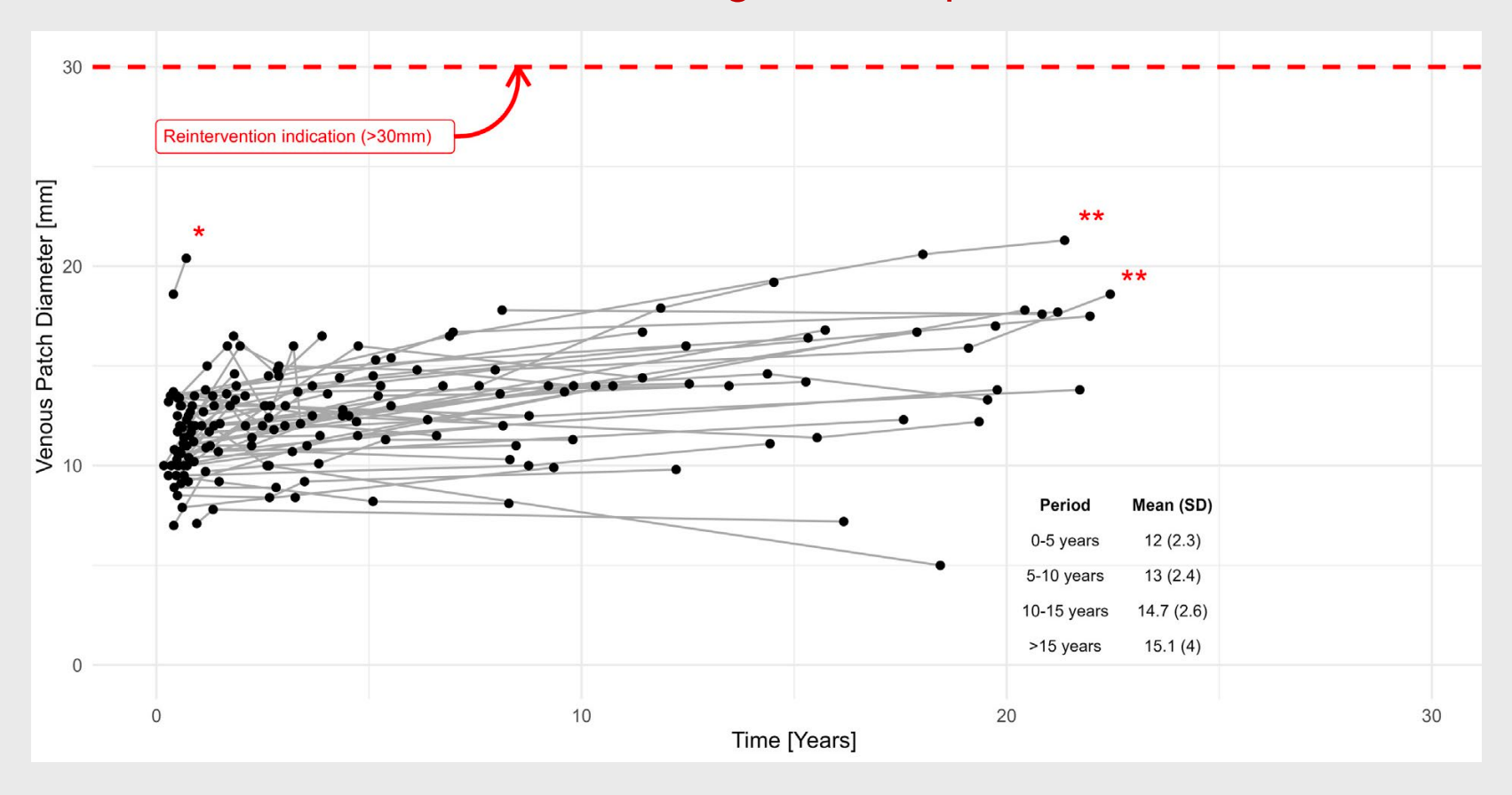


van Hooff M et al., J Vasc Surg. 2023;78:514-524



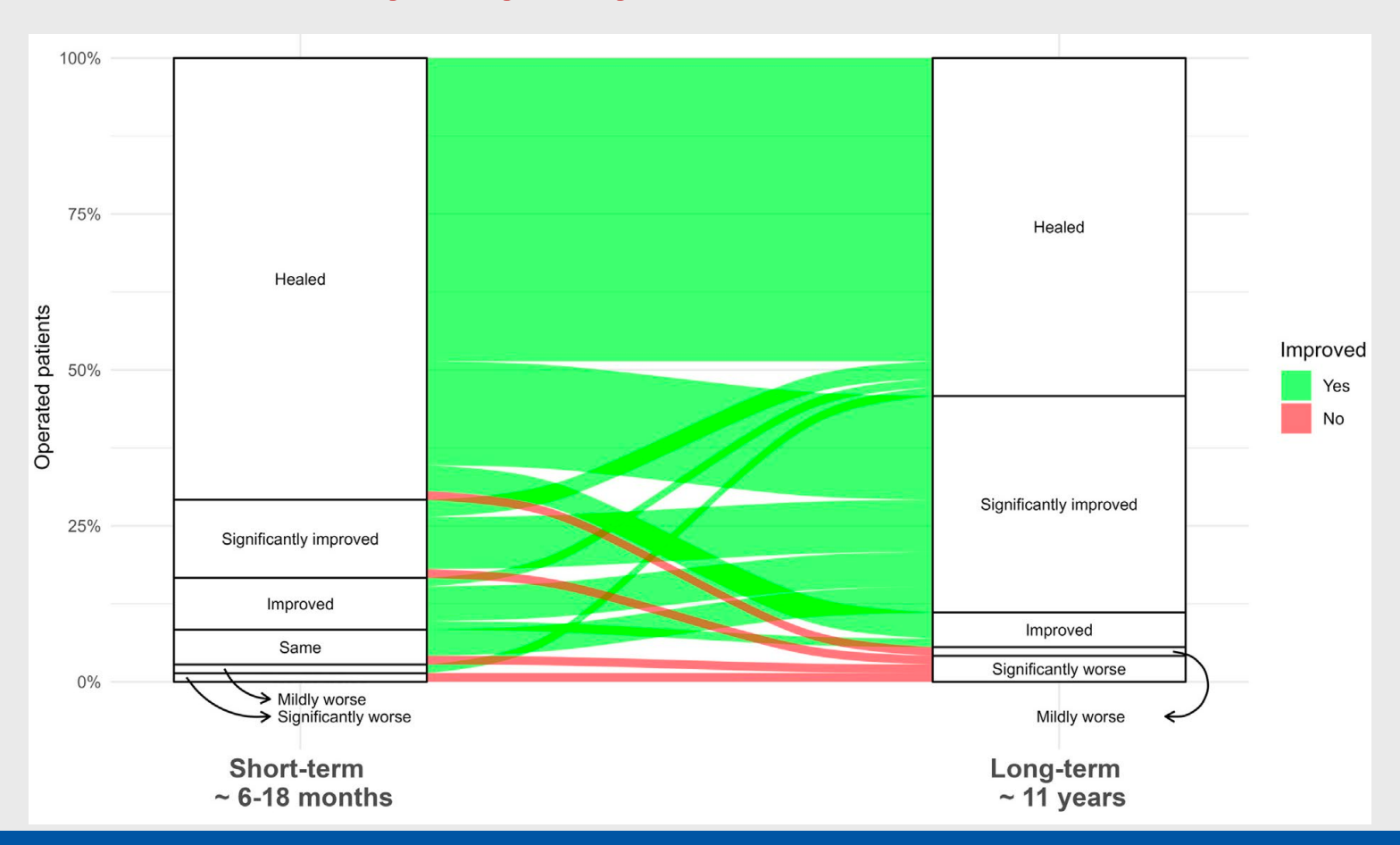
van Hooff M et al., J Vasc Surg. 2023;78:514-524

#### Dilatation nach autologer Venenpatch-Plastik



van Hooff M et al., J Vasc Surg. 2023;78:514-524

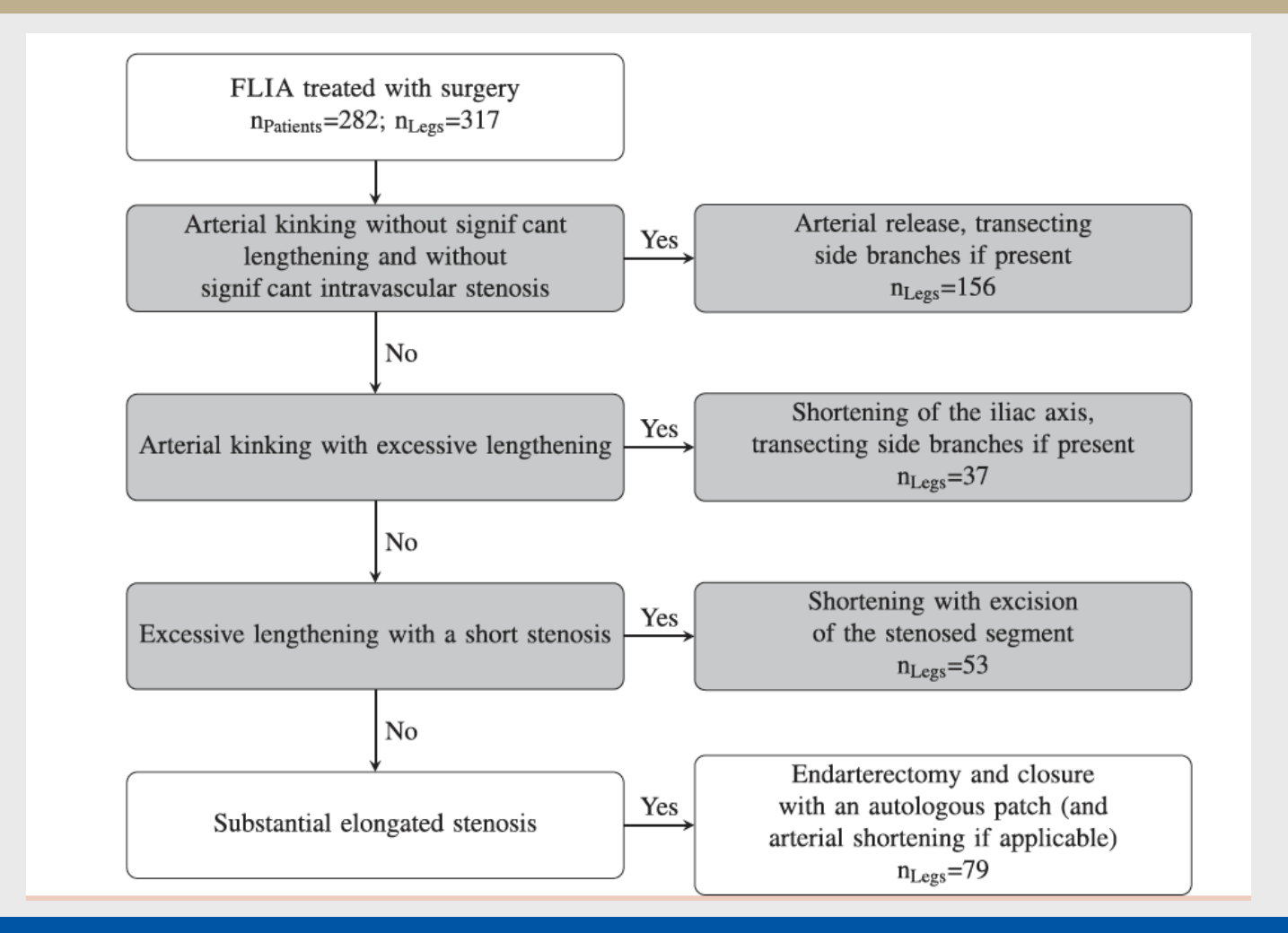
#### Kurz- vs. langfristige Ergebnise bei Patienten mit FLIA



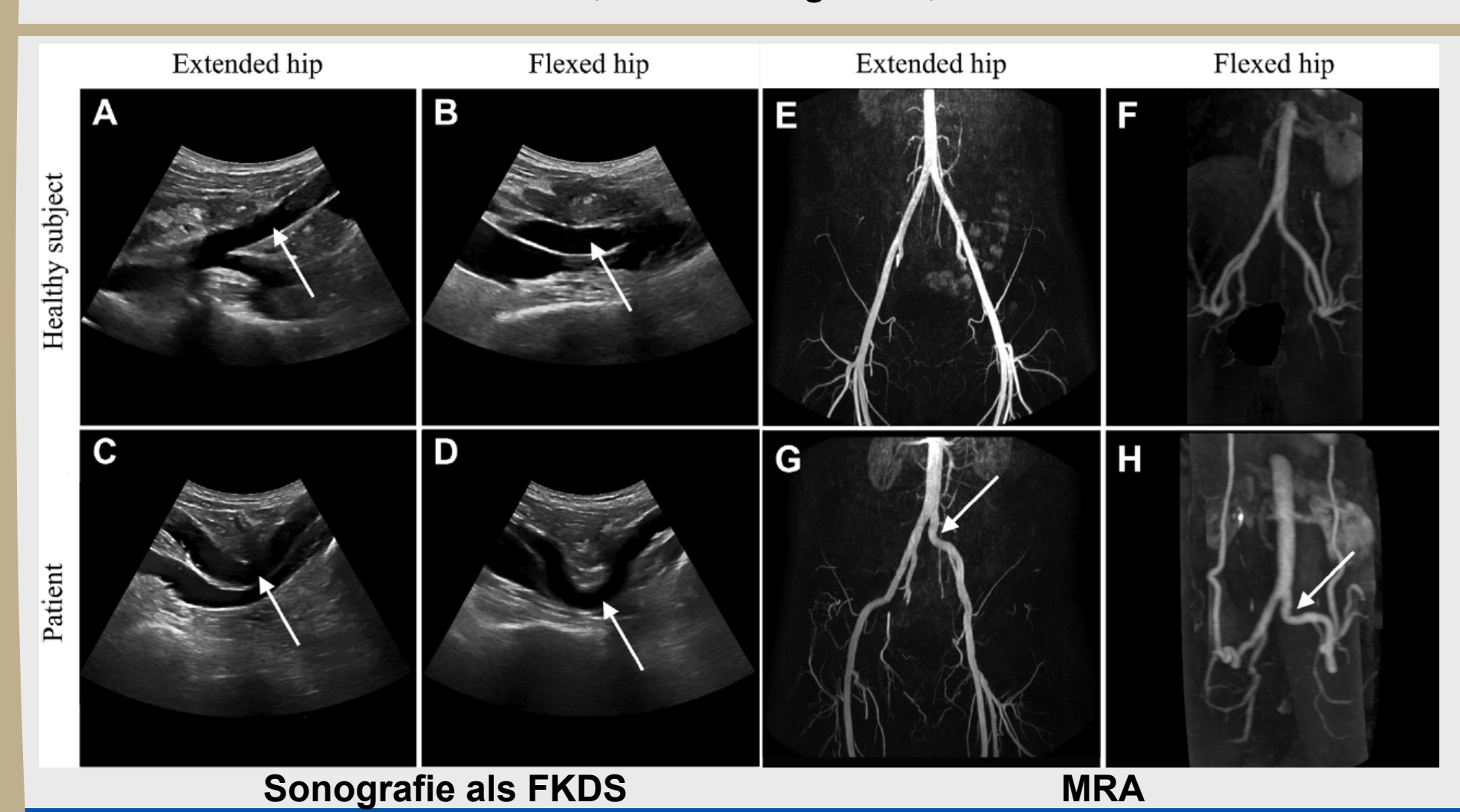
#### FLIA (Flow limitations in iliac arteries)

van Hooff M et al., J Vasc Surg. 2023;78:514-524

Befundadaptierte, ,maßgeschneiderte' Therapie



van Hooff M et al., J Vasc Surg. 2023;77:588-598.e3

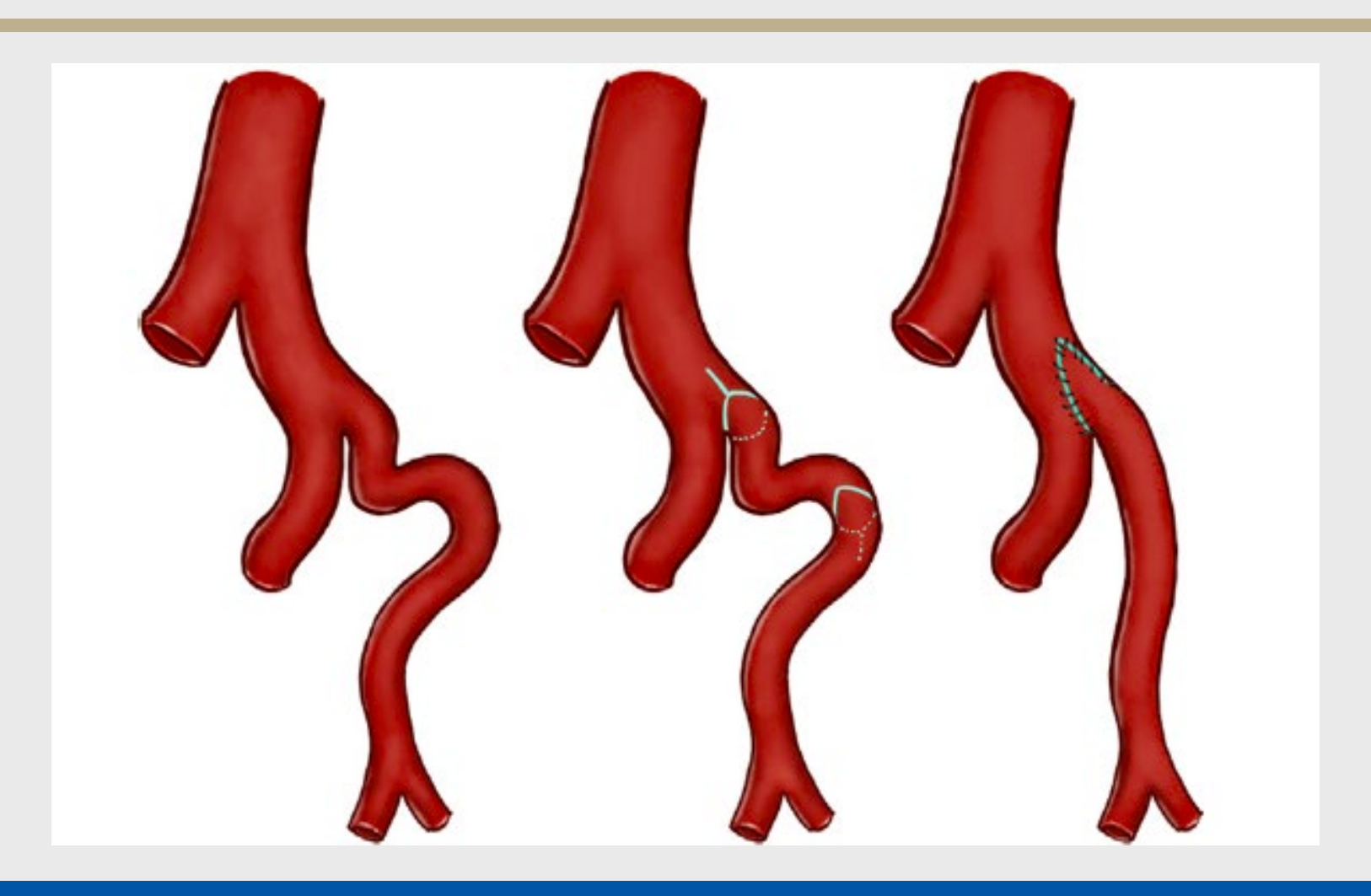


Angio Update 2024

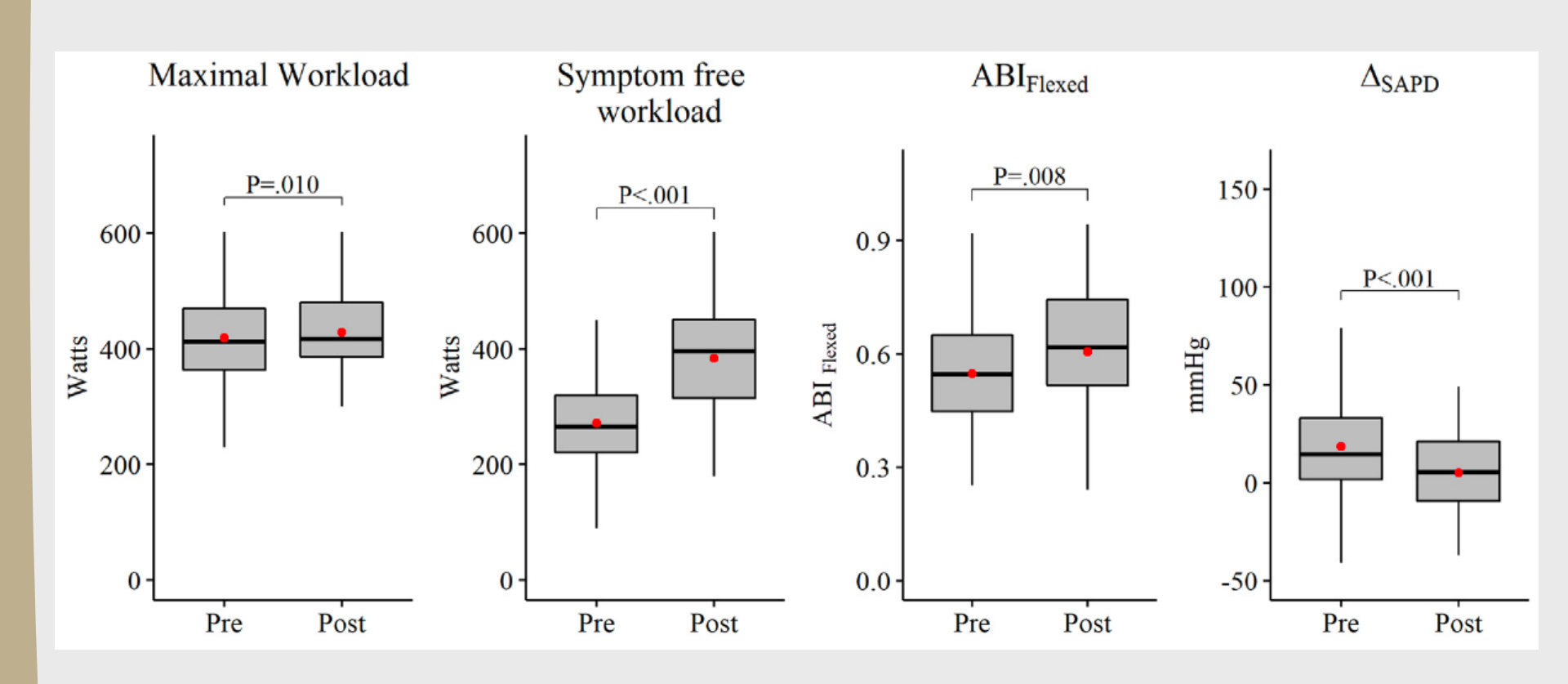
pAVK: Operativ

9

van Hooff M et al., J Vasc Surg. 2023;77:588-598.e3



van Hooff M et al., J Vasc Surg. 2023;77:588-598.e3



# Fazit für Klinik und Praxis FLIA

- Die autologe Rekonstruktion mittels Endarteriektomie und Venenpatchplastik zur Therapie einer Claudicatio intermittens infolge Endofibrose der Beckenarterien ergibt eine hohe Patientenzufriedenheit und Symptomreduktion sowohl im kurz- als auch langfristigen Verlauf.
- Das Risiko von Komplikationen infolge einer Dilatation des Patches erscheint gering.
- Damit ist die gefäßchirurgische Therapie einer Einschränkung des iliakalen arteriellen Blutstromes infolge einer Endofibrose in dieser Form als sicher und erfolgreich zu bewerten.
- Die selektive gefäßchirurgische Kürzung einer elongierten Beckenarterie (i.d.R. A. iliaca externa) mit oder ohne Kinking als Ursache einer FLIA ist kurz- und langfristig erfolgreich.

### Infrainguinales Segment

#### State of the Art

# Therapiemethoden sind etabliert und validiert

- Autologe Revaskularisation optimal
  - Venenbypass (VSM oder Alternativen)
  - Crural, inframalleolär bis pedal
- offen vs. endovaskulär (,endo first'), RCT's
- Stellenwert muss z.T. neu evaluiert werden
- Komorbidität, perioperatives Management

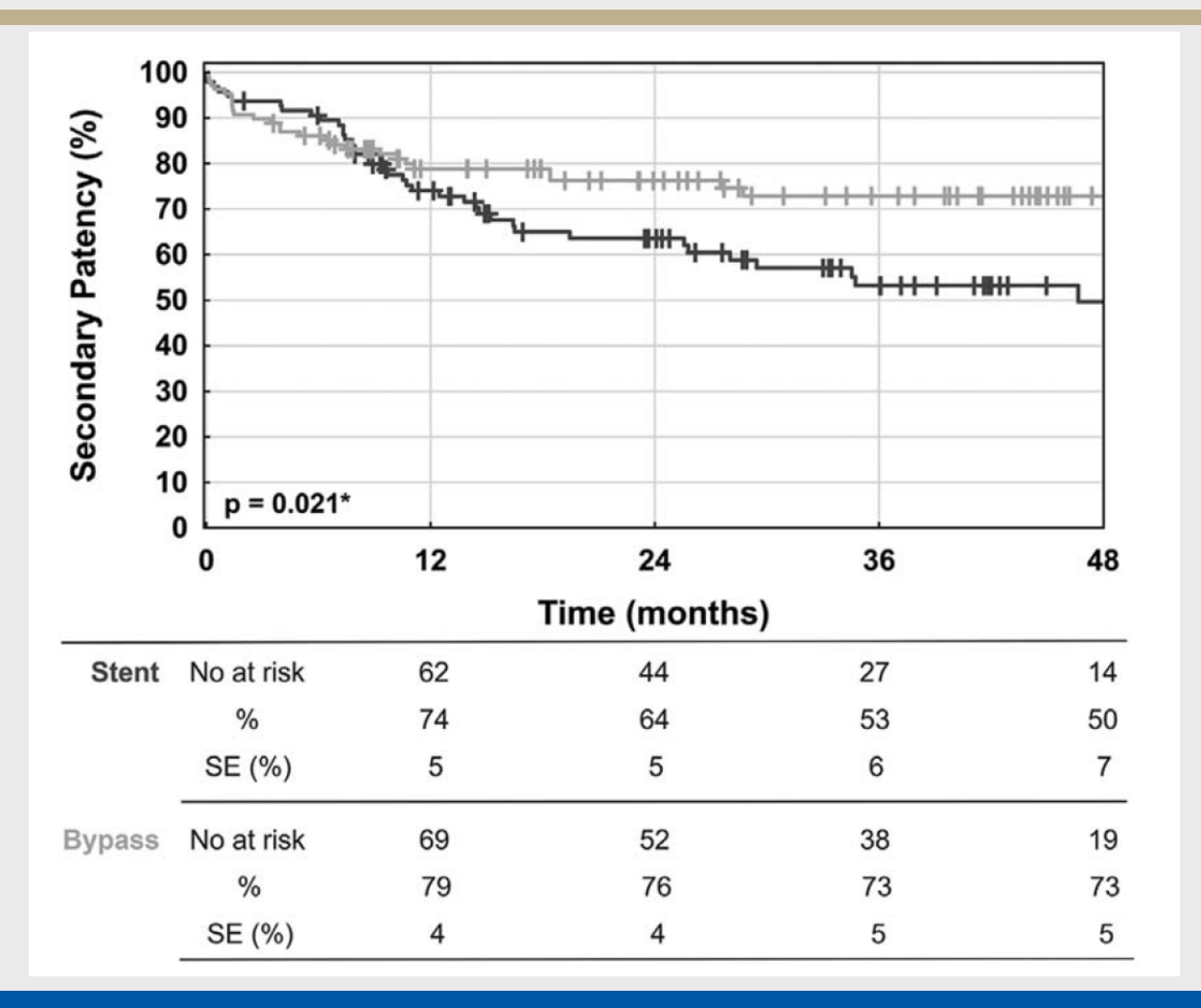
Angio Update 2024

pAVK: Operativ

### Venenbypass versus Nitinol-Stent: 4-Jahres-Ergebnisse einer prospektiven randomisierten Studie

Enzmann FK et al., Ann Surg. 2023;277:e1208-e1214

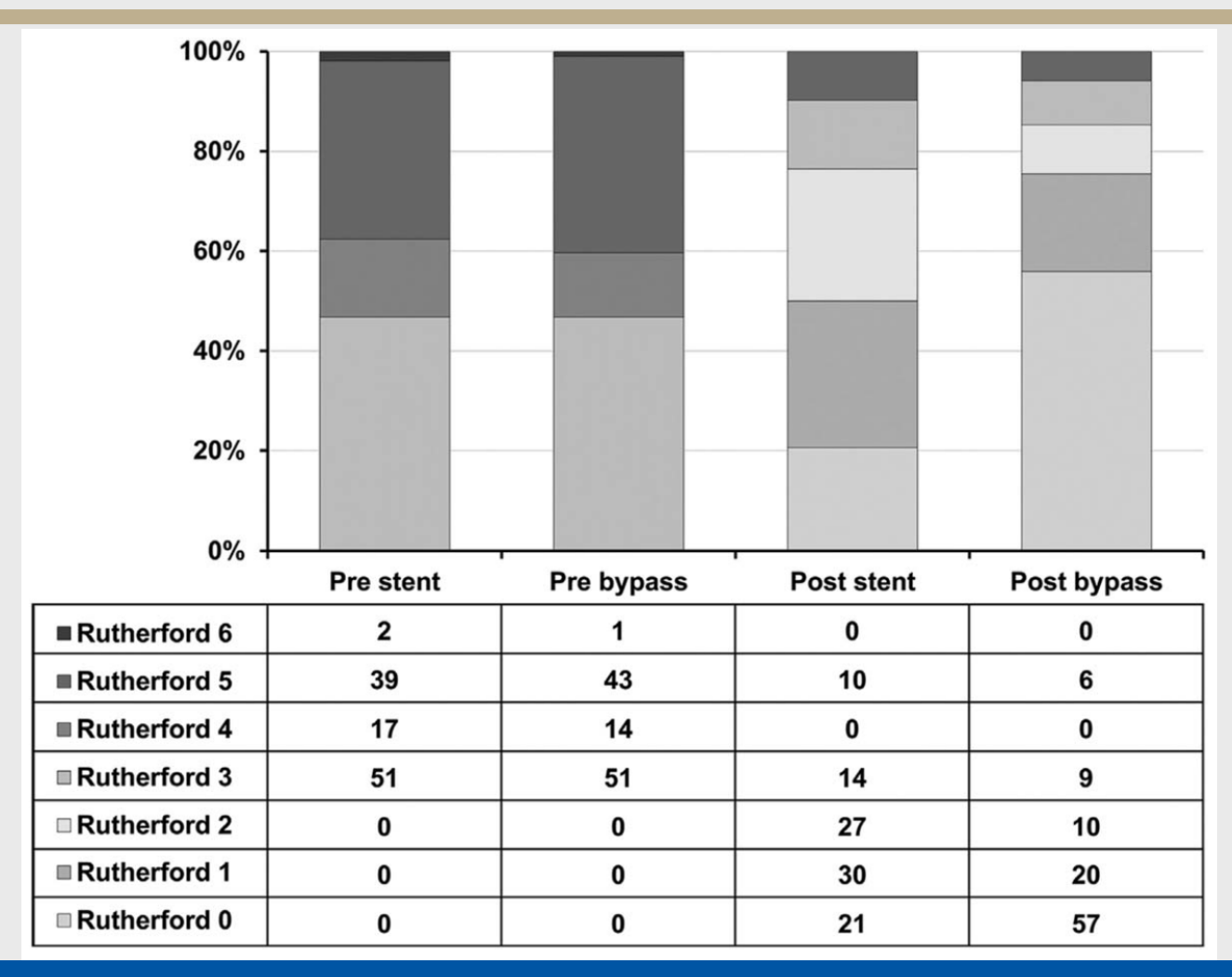
Sekundäre Offenheitsraten nach Kaplan-Meier



### Venenbypass versus Nitinol-Stent: 4-Jahres-Ergebnisse einer prospektiven randomisierten Studie

Enzmann FK et al., Ann Surg. 2023;277:e1208-e1214

Sekundäre Offenheitsraten nach Kaplan-Meier



#### Fazit für Klinik und Praxis

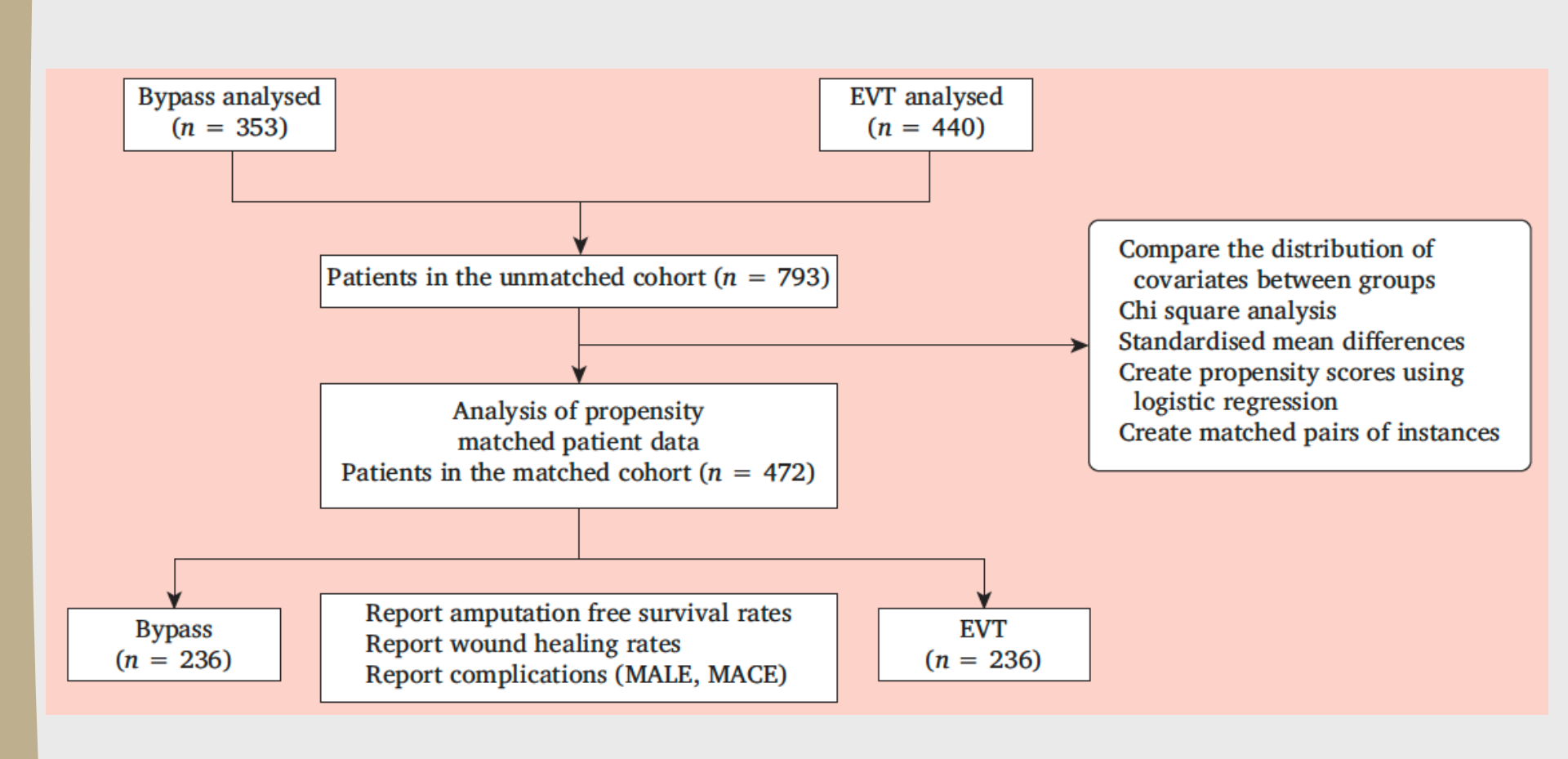
### Venenbypass vs. Nitinol-Stent bei langen femoropoplitealen Läsionen

- Größter RCT zum Vergleich von endovaskulärer Therapie in Form der Angioplastie mit Nitinol-Stents und gefäßchirurgischer Therapie mittels Venenbypass für langstreckige femoropopliteale (TASC II C- und D) Läsionen
- Erstmals Bericht über 4-Jahres-Ergebnisse
- Studie zeigt sehr gut die Möglichkeiten beider Therapieformen
- Vorteile der Behandlung mittels Bypasses deutlich

# Infrainguinale Revaskularisation bei CLTI: Endovaskulär vs. offen (Bypass): retrospektive Multicenter-Kohortenstudie mit Propensity Score Matching Ricco JB et al., Eur J Vasc Endovasc Surg. 2023;66:531-540

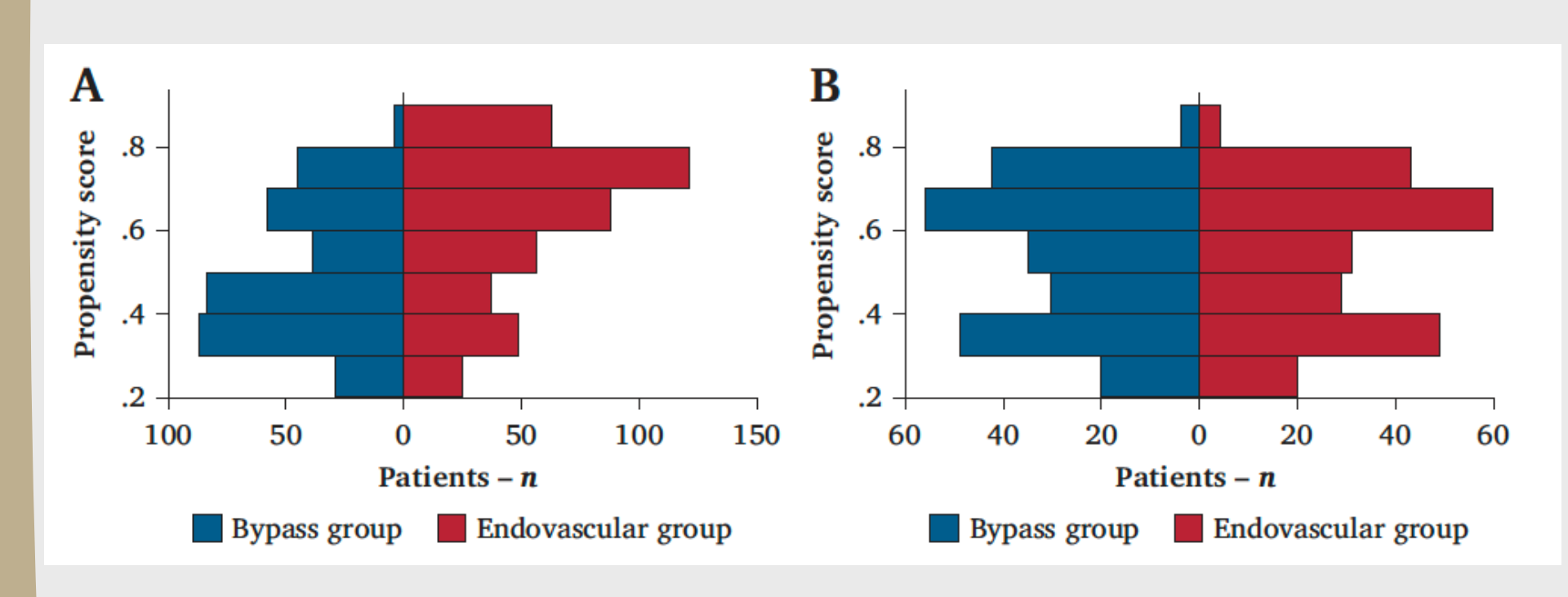
Retrospective cohort study of 952 patients with chronic limb threatening ischaemia (CLTI) who underwent endovascular (EVT) or bypass revascularisation in four European academic centres between January 2015 and December 2021 Patients in the retrospective cohort (n = 952) **EVT Bypass** (n = 430)(n = 522)Patients (17.9%) were excluded (n = 77)Patients (15.7%) were excluded (n = 82) Patients (4.8%) with incomplete data (n = 21)Patients (4.7%) with incomplete data (n = 25)Patients (4.4%) with emergency procedure (n = 19) Patients (3.0%) with emergency procedure (n = 16) Patients (8.6%) who had undergone Patients (7.8%) who had undergone previous ipsilateral revascularisation (n = 37) previous ipsilateral revascularisation (n = 41) Bypass analysed EVT analysed (n = 353)(n = 440)

# Infrainguinale Revaskularisation bei CLTI: Endovaskulär vs. offen (Bypass): retrospektive Multicenter-Kohortenstudie mit Propensity Score Matching Ricco JB et al., Eur J Vasc Endovasc Surg. 2023;66:531-540



# Infrainguinale Revaskularisation bei CLTI: Endovaskulär vs. offen (Bypass): retrospektive Multicenter-Kohortenstudie mit Propensity Score Matching Ricco JB et al., Eur J Vasc Endovasc Surg. 2023;66:531-540

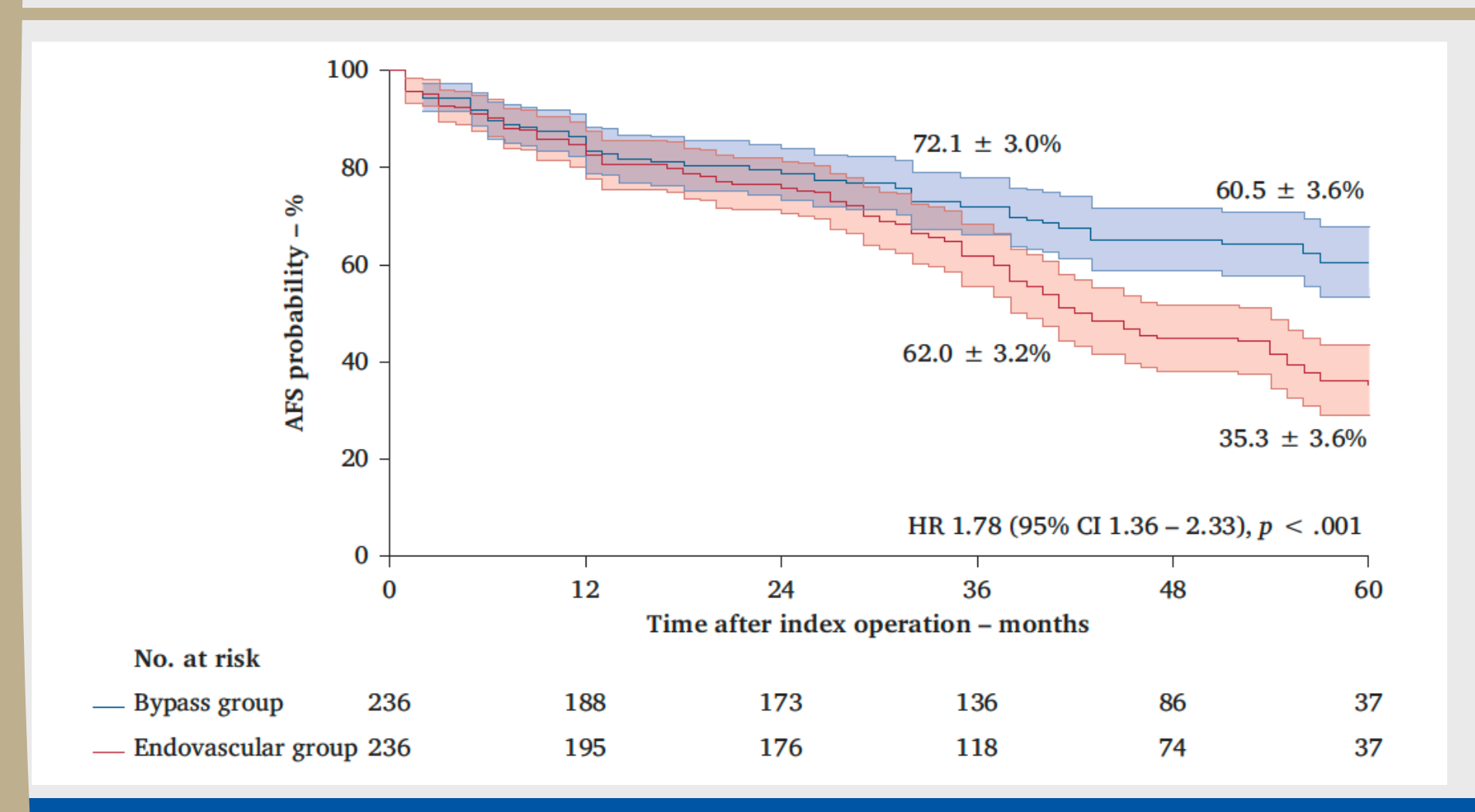
### **Propensity Score Matching**



### EVT vs. offen (Bypass): retrospektive Multicenter-Kohortenstudie mit Propensity Score Matching

Ricco JB et al., Eur J Vasc Endovasc Surg. 2023;66:531-540

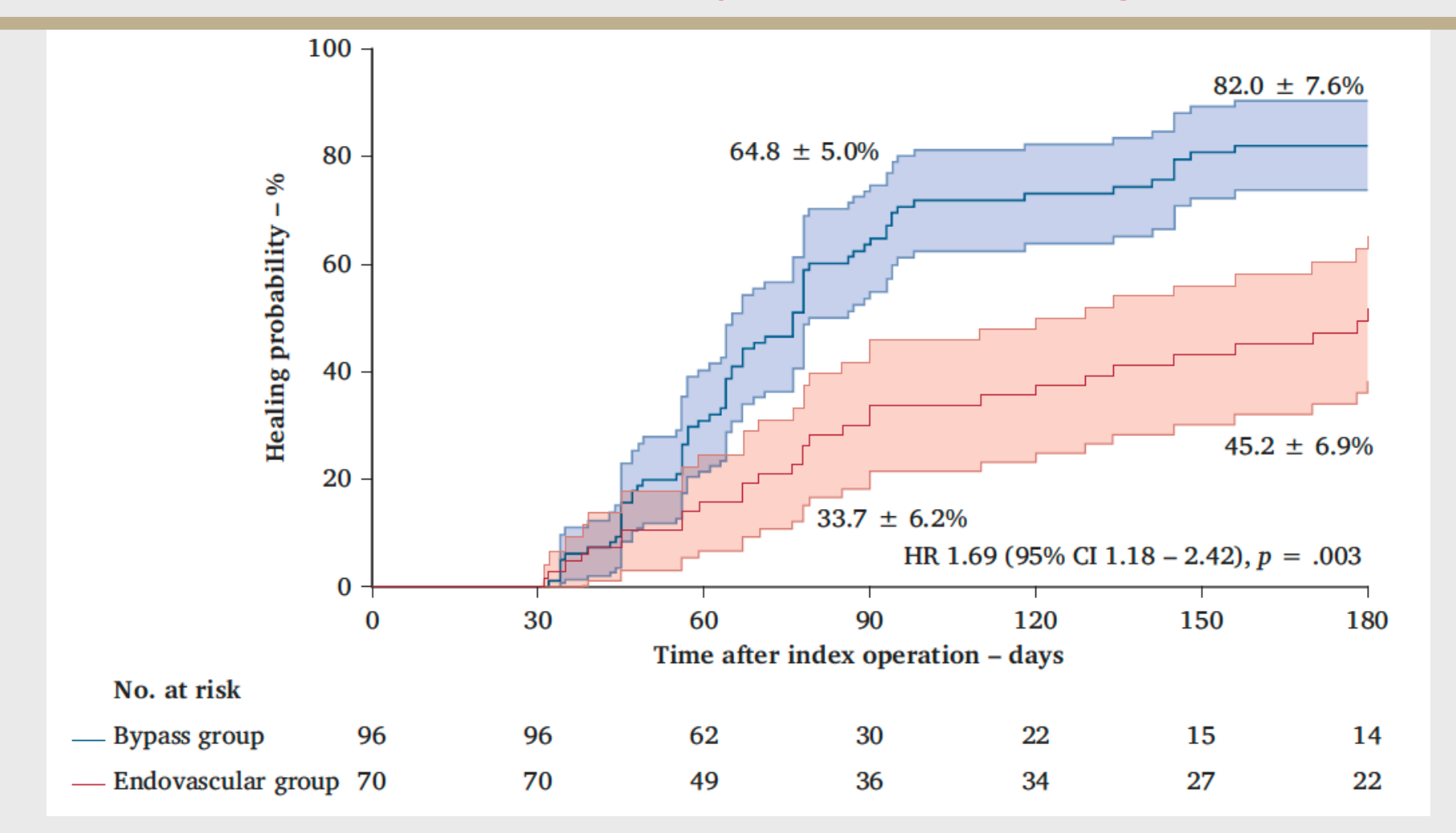
Kaplan-Meier-Analyse für primären Endpunkt: Major-Amputation + Tod



### EVT vs. offen (Bypass): retrospektive Multicenter-Kohortenstudie mit Propensity Score Matching

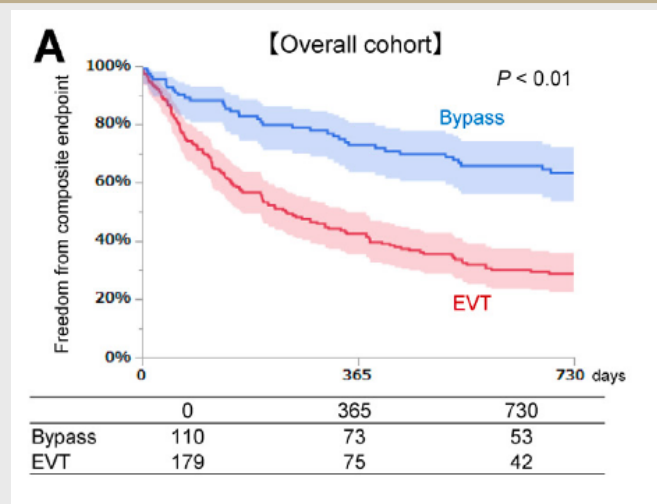
Ricco JB et al., Eur J Vasc Endovasc Surg. 2023;66:531-540

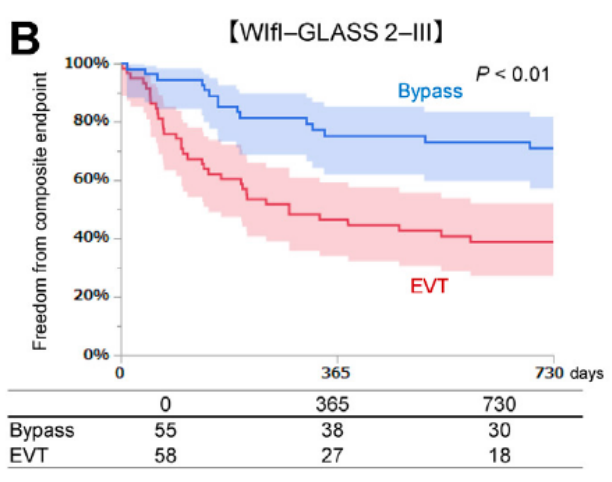
### Kaplan-Meier-Analyse für Wundheilung

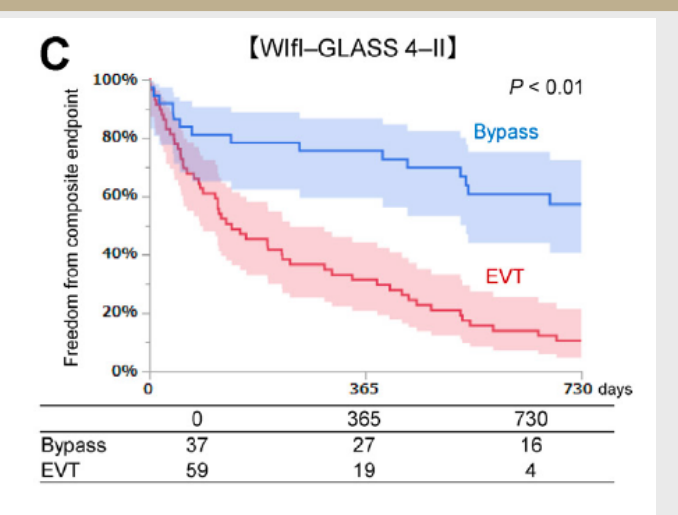


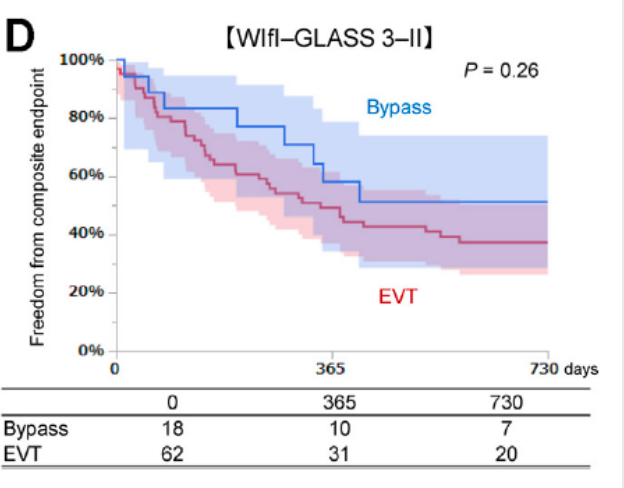
# Bypasschirurgie besser als EVT für Patienten mit CLTI in der Kategorie ,Unbestimmt' entsprechend der Global Vascular Guidelines *Yoshino S et al., Ann Vasc Surg. 2023;97:358-366*

### Freiheit von Ruheschmerz, Reintervention oder Tod und Wundheilung







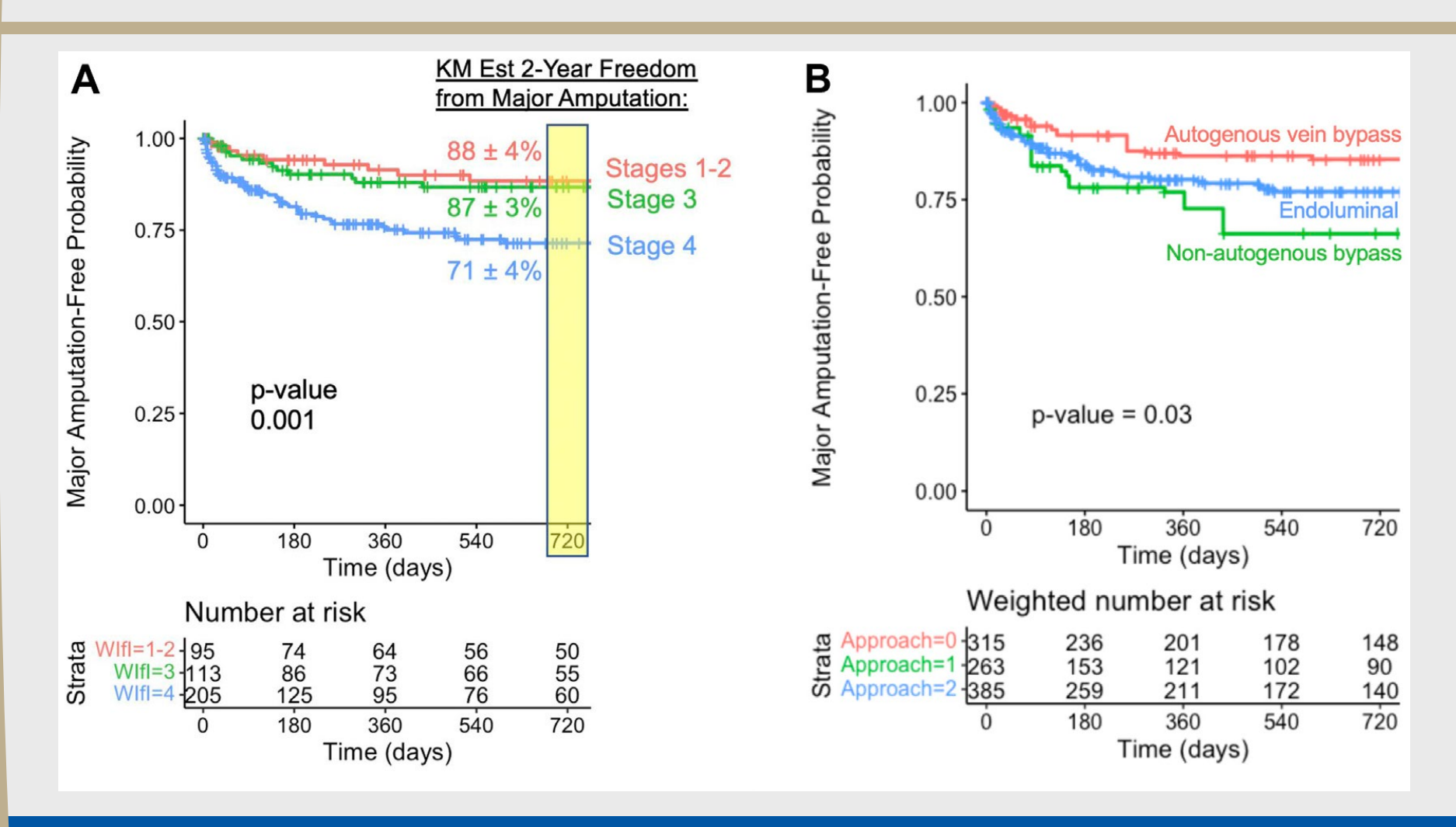


### Fazit für Klinik und Praxis

- Nach den Daten dieser Studie ist eine Differenzialindikation hinsichtlich einer für die PatientInnen optimal geeigneten Erstlinien-Therapie zur Revaskularisation bei CLTI möglich.
- Die Bypasschirurgie ist der EVT in Bezug auf den kombinierten Endpunkt dieser Studie für PatientInnen überlegen, die entsprechend den GVG als "Unbestimmt" klassifiziert werden.
- Die Bypasschirurgie sollte also als initiale Methode der Revaskularisation in Betracht gezogen werden, wenn entsprechend den GVG eine Subgruppen-Klassifikation WIfI-GLASS 2-III und 4-II zutrifft.

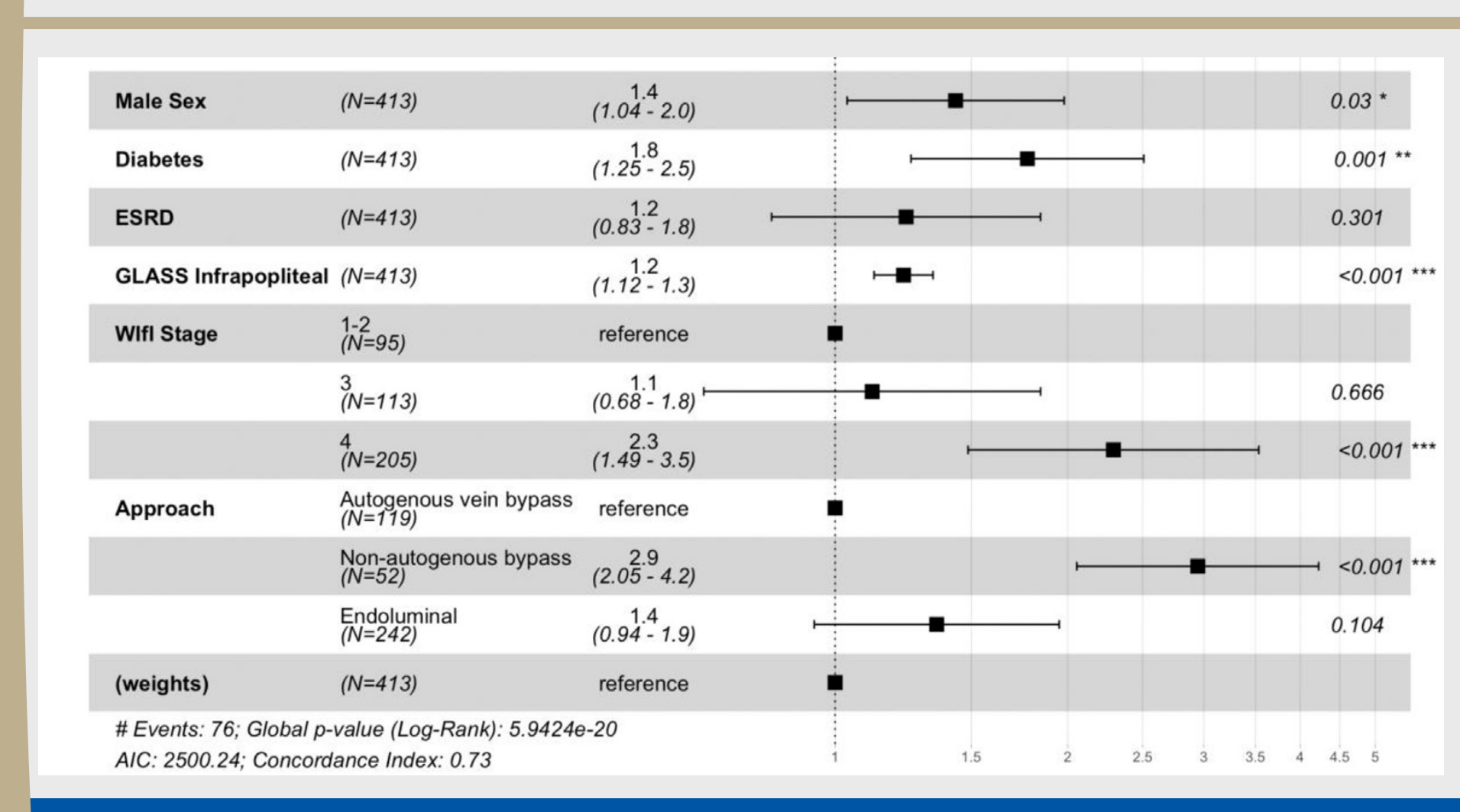
# Schweregrad ist bei infrainguinaler Revaskularisation wegen CLTI mit den Langzeit-Ergebnissen assoziiert Liu IH et al., J Vasc Surg. 2023;77:1137-1146.e3.

#### Assoziation mit Major-Amputation in der gesamten Kohorte



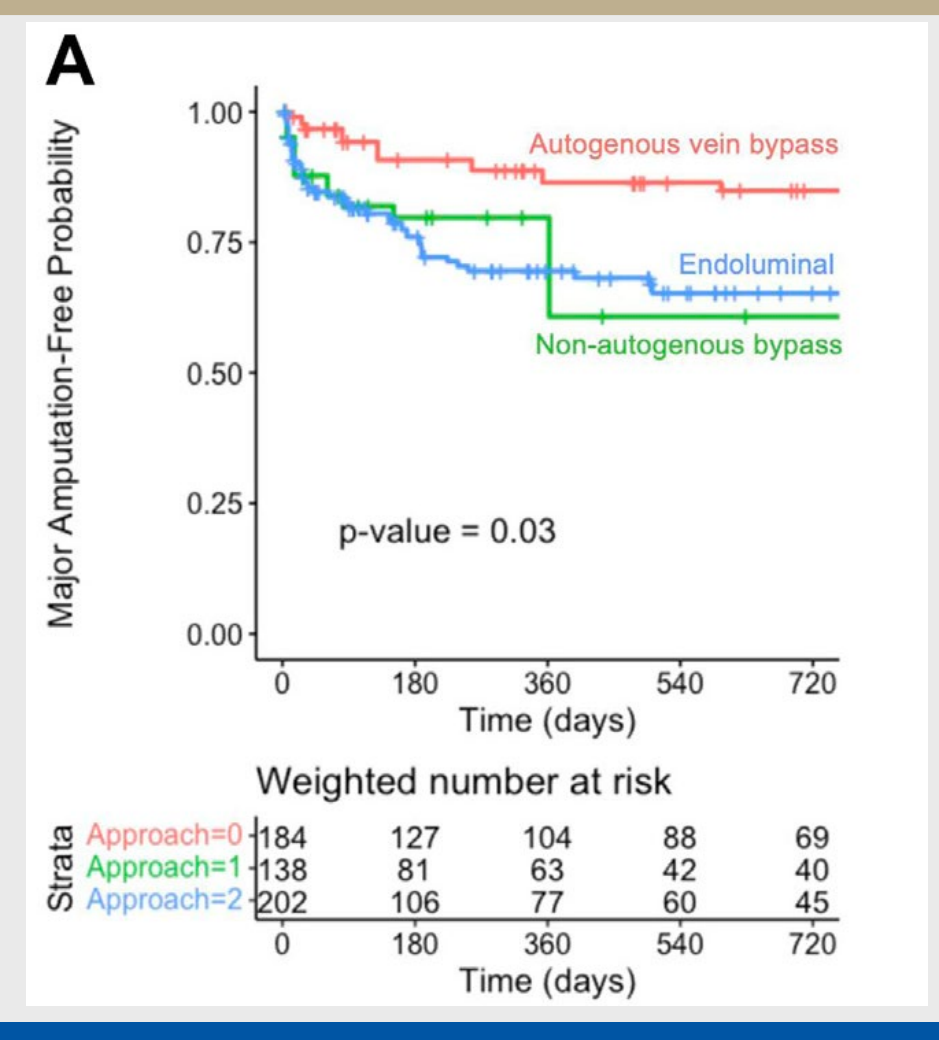
# Schweregrad ist bei infrainguinaler Revaskularisation wegen CLTI mit den Langzeit-Ergebnissen assoziiert Liu IH et al., J Vasc Surg. 2023;77:1137-1146.e3.

#### Assoziation mit Major-Amputation in der gesamten Kohorte



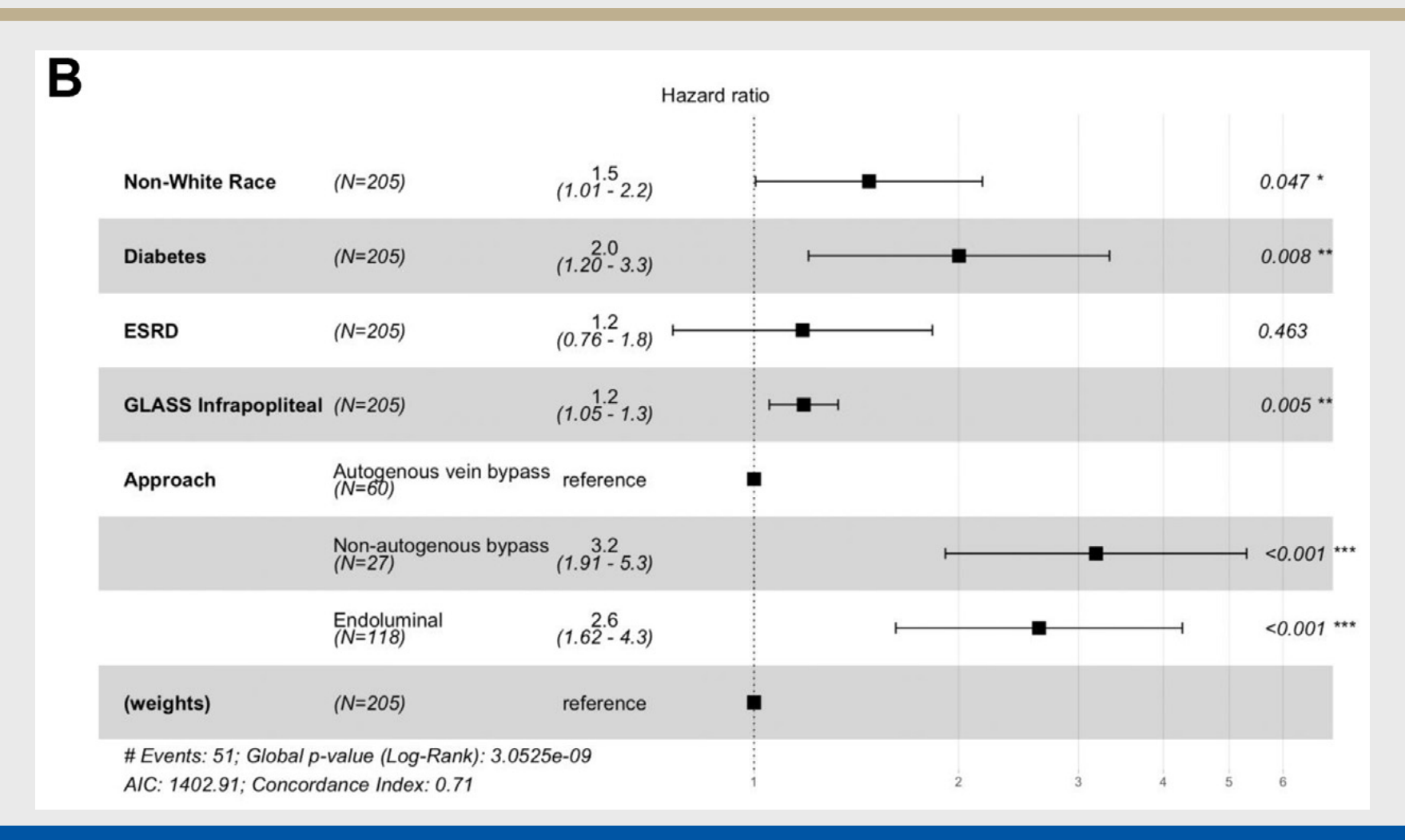
# Schweregrad ist bei infrainguinaler Revaskularisation wegen CLTI mit den Langzeit-Ergebnissen assoziiert Liu IH et al., J Vasc Surg. 2023;77:1137-1146.e3.

Assoziation mit Major-Amputation in der Sugruppe Wlfl Stadium 4



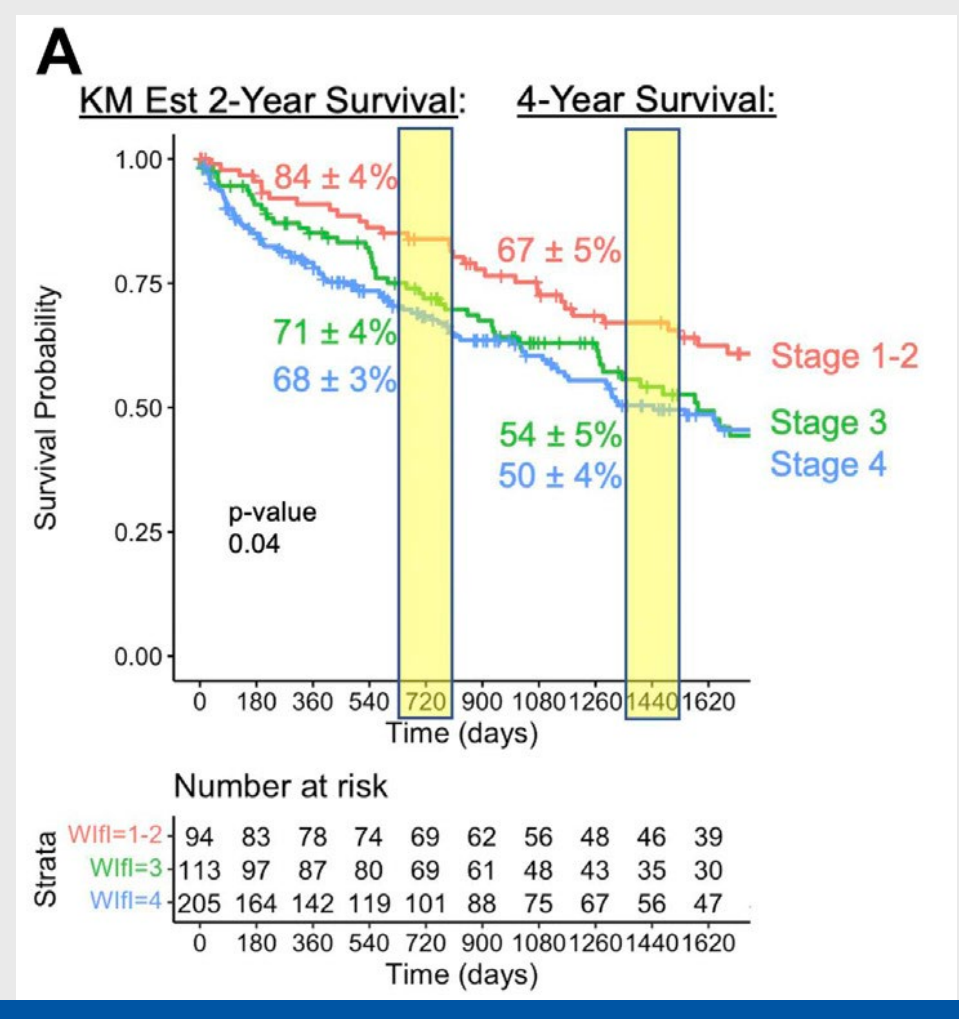
# Schweregrad ist bei infrainguinaler Revaskularisation wegen CLTI mit den Langzeit-Ergebnissen assoziiert Liu IH et al., J Vasc Surg. 2023;77:1137-1146.e3.

#### Assoziation mit Major-Amputation in der Sugruppe Wlfl Stadium 4



# Schweregrad ist bei infrainguinaler Revaskularisation wegen CLTI mit den Langzeit-Ergebnissen assoziiert Liu IH et al., J Vasc Surg. 2023;77:1137-1146.e3.

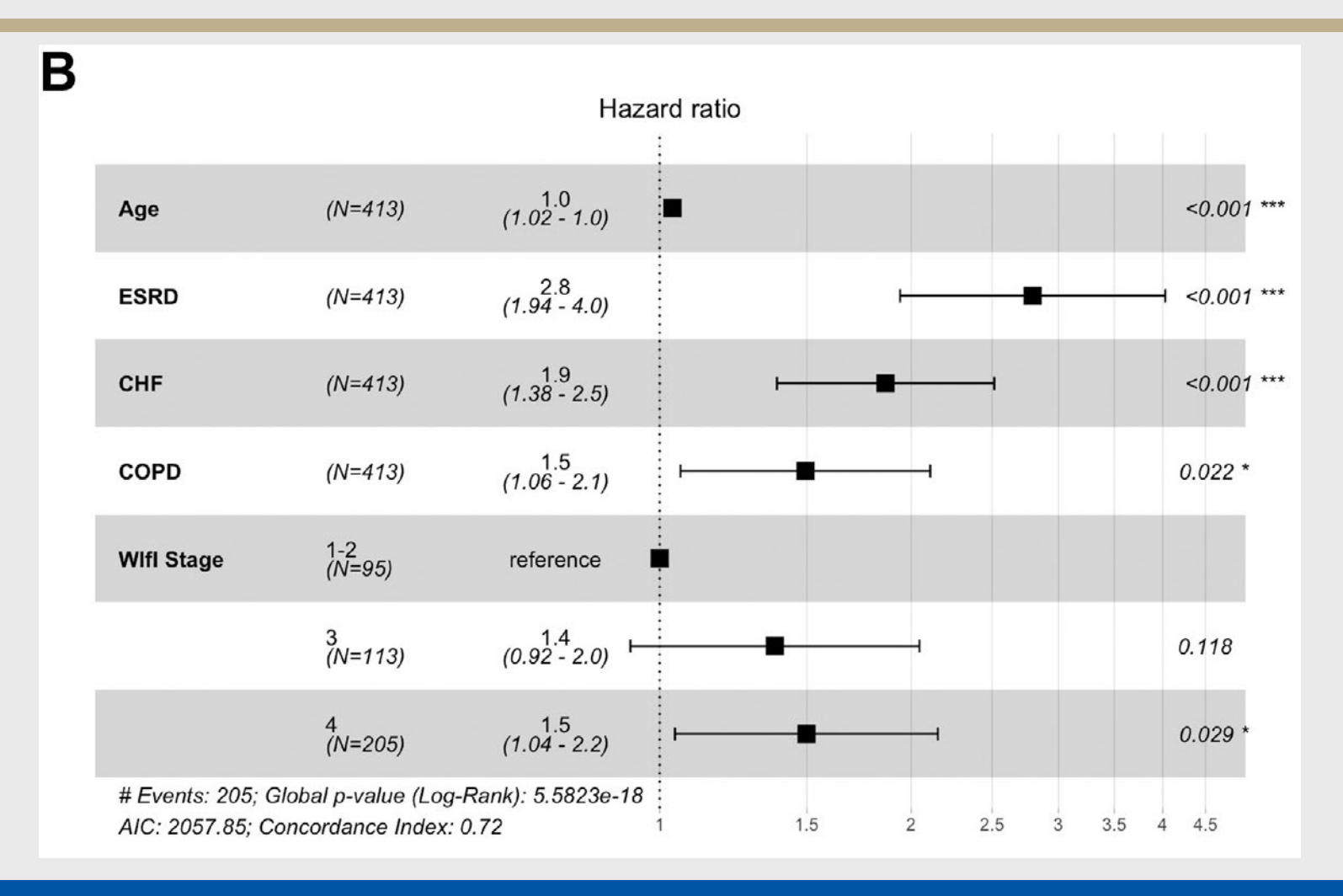
#### Mortalität in der Gesamt-Kohorte



# Schweregrad ist bei infrainguinaler Revaskularisation wegen CLTI mit den Langzeit-Ergebnissen assoziiert

Liu IH et al., J Vasc Surg. 2023;77:1137-1146.e3.

#### Mortalität in der Gesamt-Kohorte



## Infrapopliteales Segment

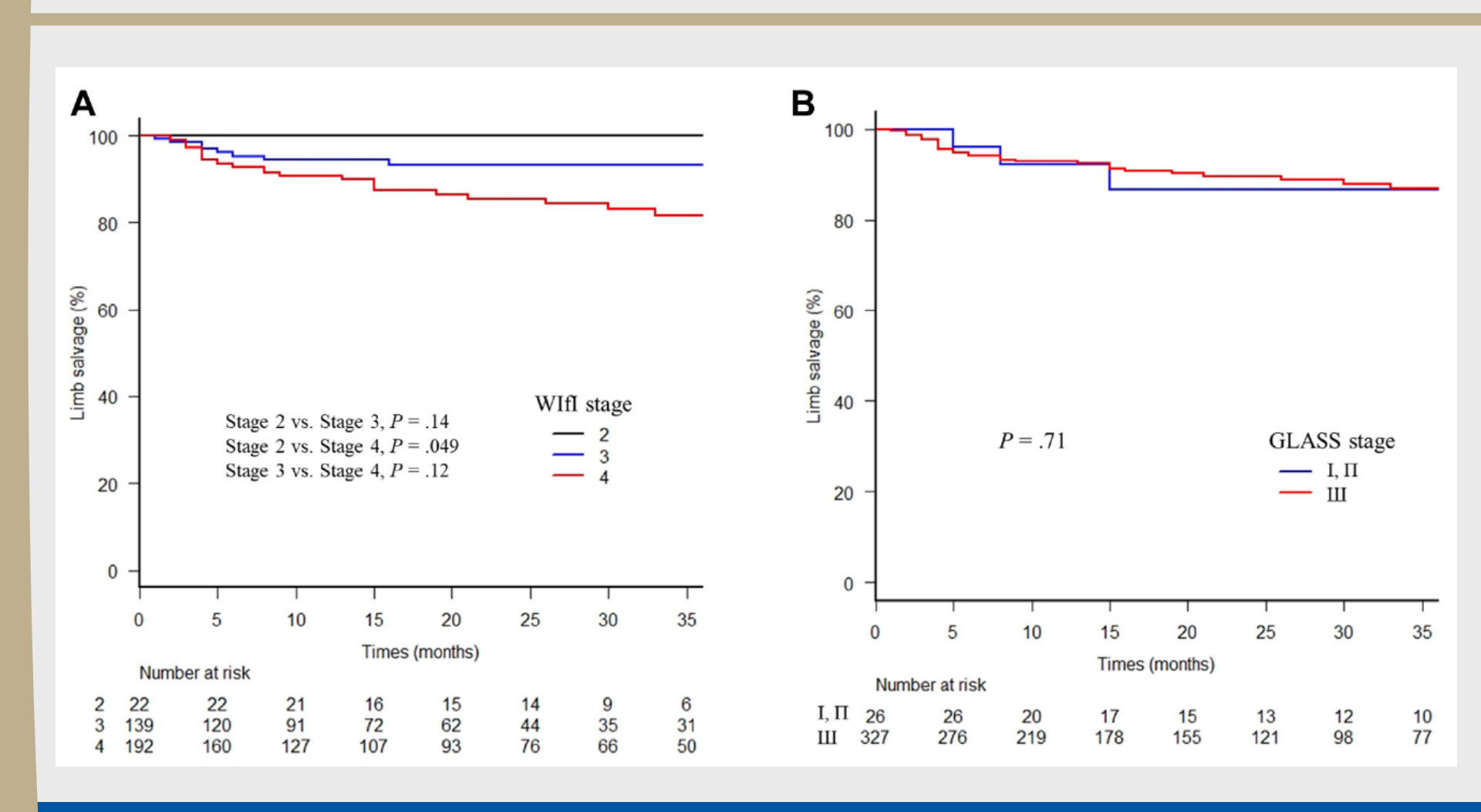
Angio Update 2024

pAVK: Operativ

## Einfluss von Wlfl-Stadium und GLASS-Stadium auf Extremitätenerhalt

Kobayashi T et al. J Vasc Surg 2023;77:1468-1476.e3.

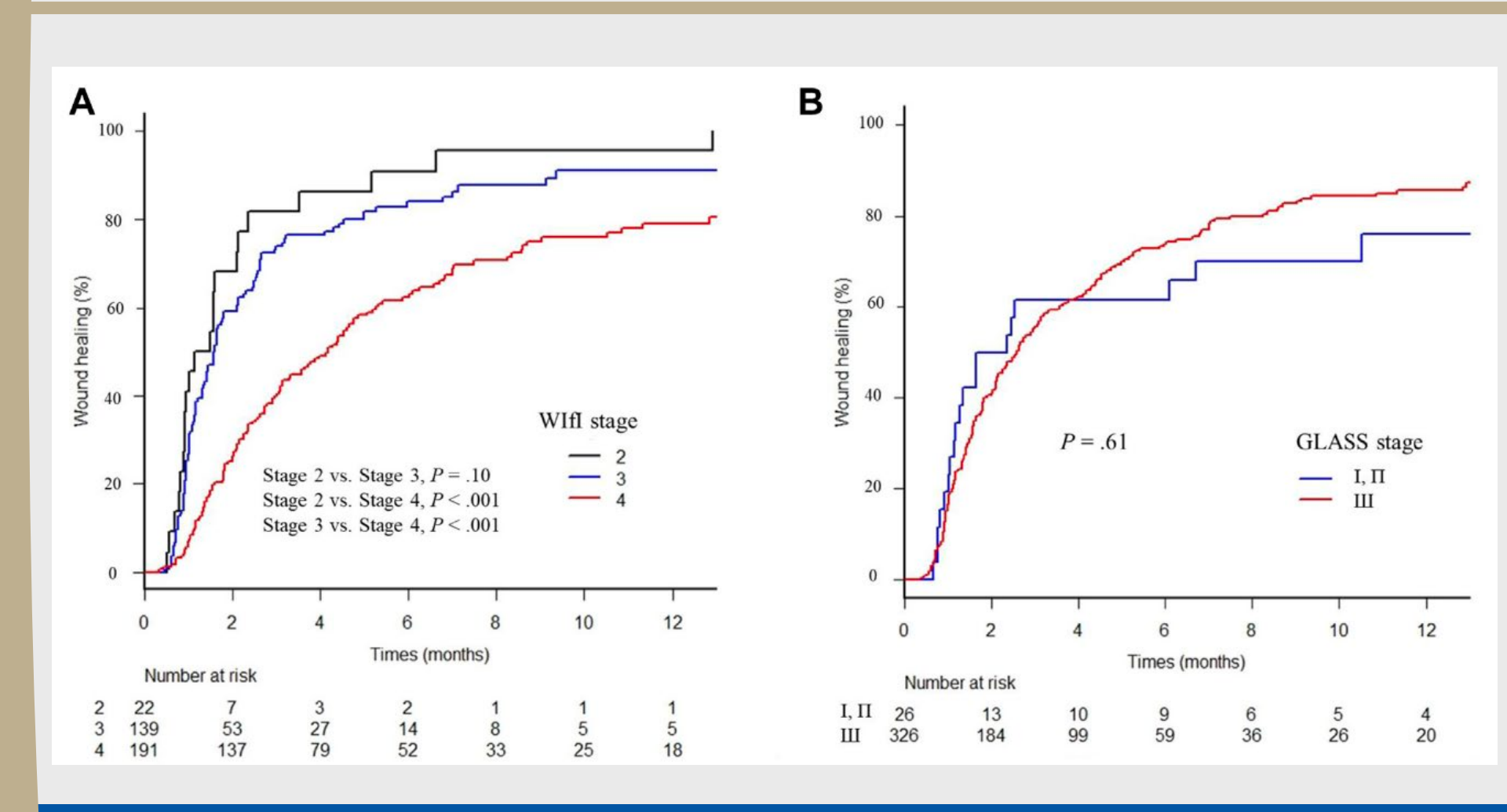
Extremitäten-Erhaltungsrate nach 353 infrapoplitealen Venenbypässen



### Einfluss von Wlfl-Stadium und GLASS-Stadium auf Extremitätenerhalt

Kobayashi T et al. J Vasc Surg 2023;77:1468-1476.e3.

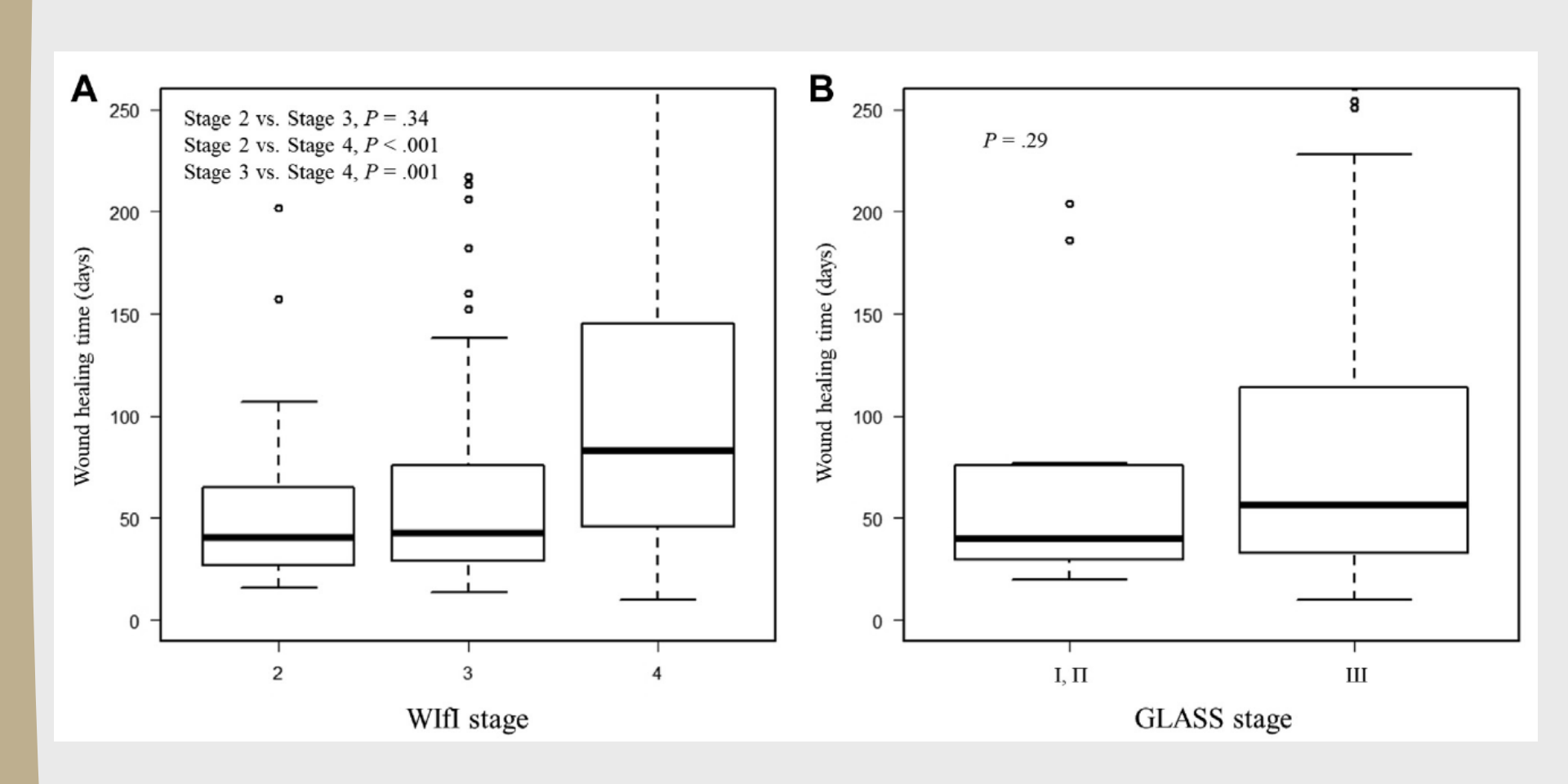
Wundheilungsrate nach 353 infrapoplitealen Venenbypässen



### Einfluss von Wlfl-Stadium und GLASS-Stadium auf Extremitätenerhalt

Kobayashi T et al. J Vasc Surg 2023;77:1468-1476.e3.

Zeit bis zur Wundheilung nach 353 infrapoplitealen Venenbypässen



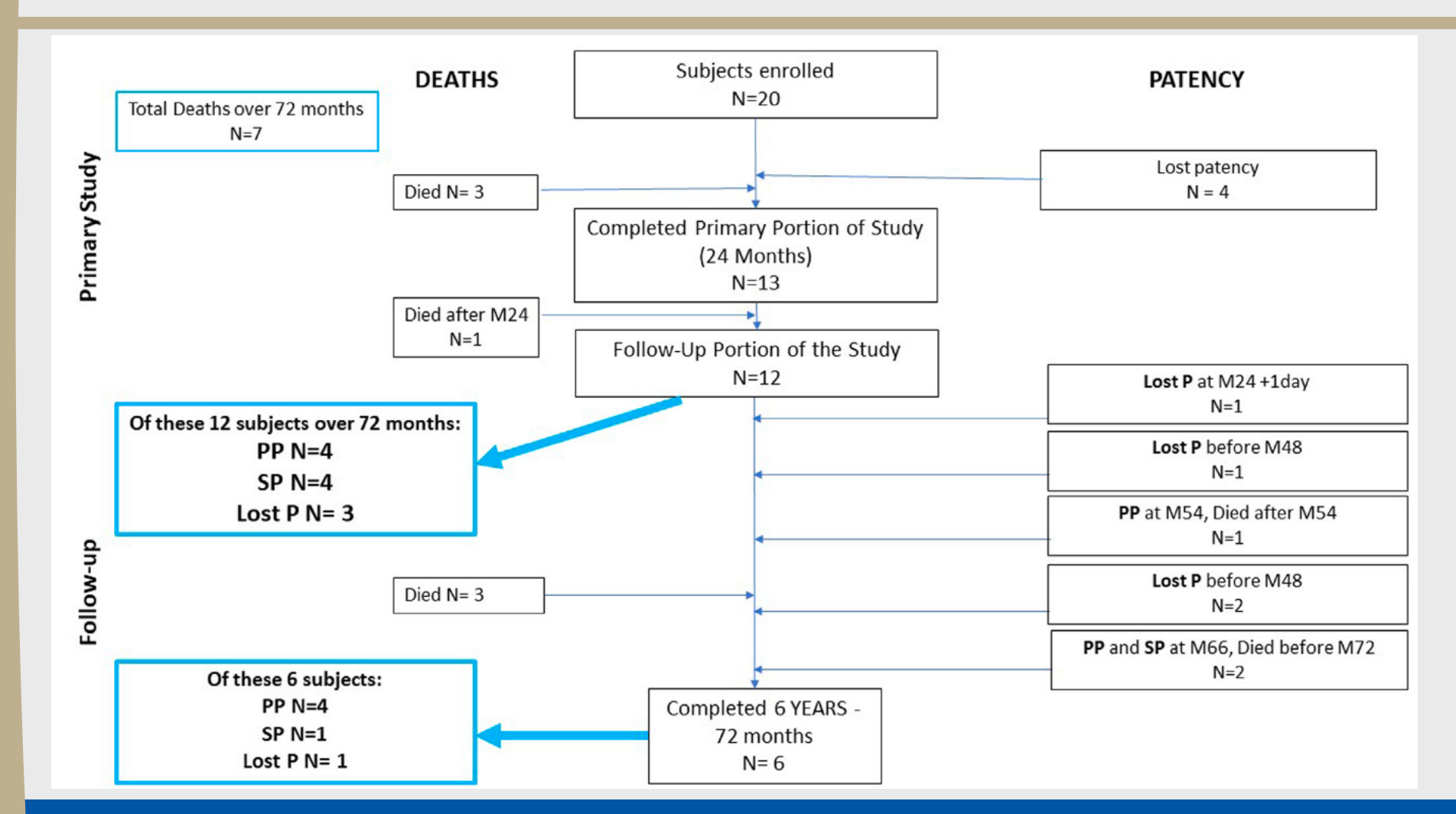
### Innovationen

Angio Update 2024

pAVK: Operativ

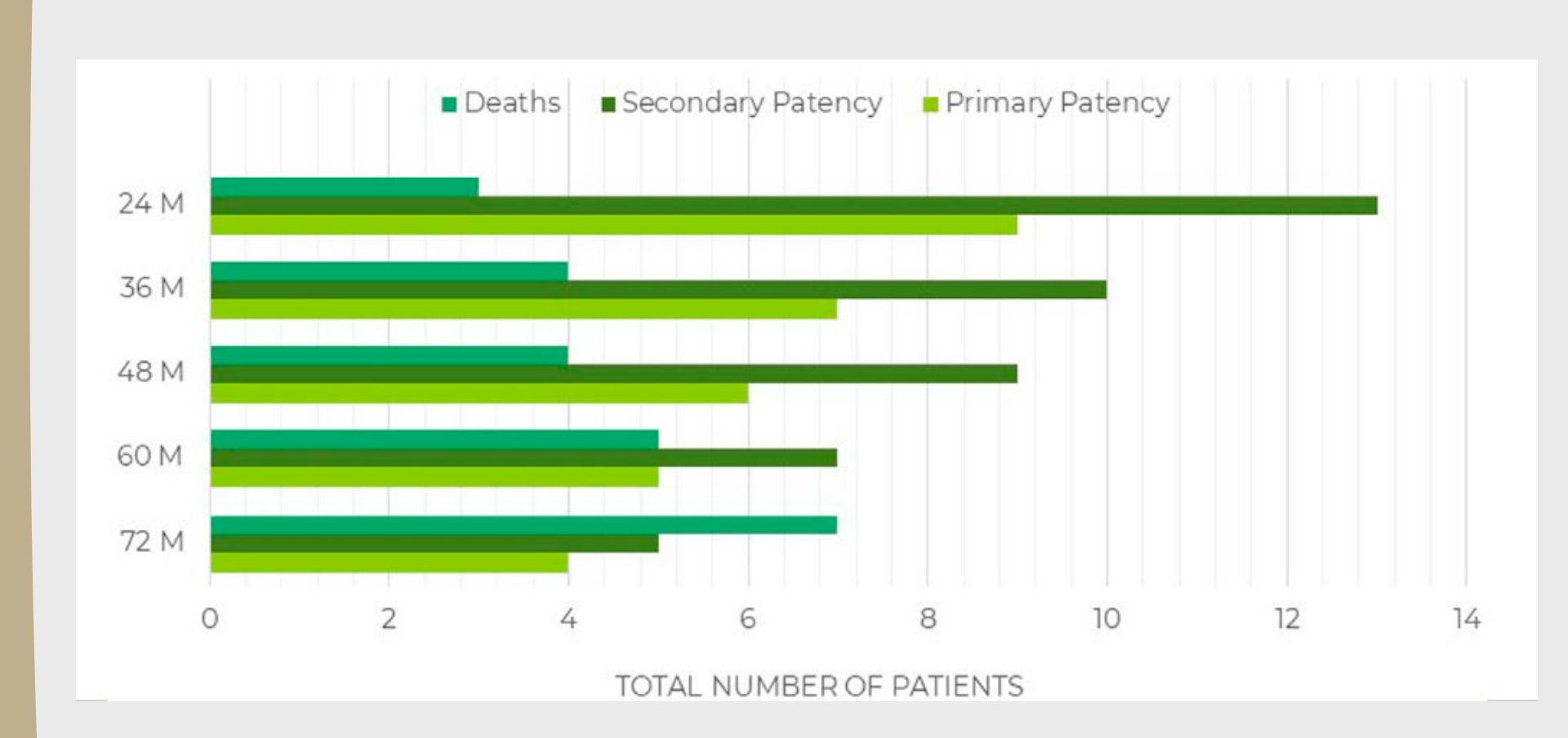
### 6-Jahres-Ergebnisse einer Phase-II-Studie mit humanen, mittels Tissue engineering hergestellten Blutgefäßen Gutowski P et al. JVS Vasc Sci 2023;4:1-9

#### Klinische Daten der PatientInnen



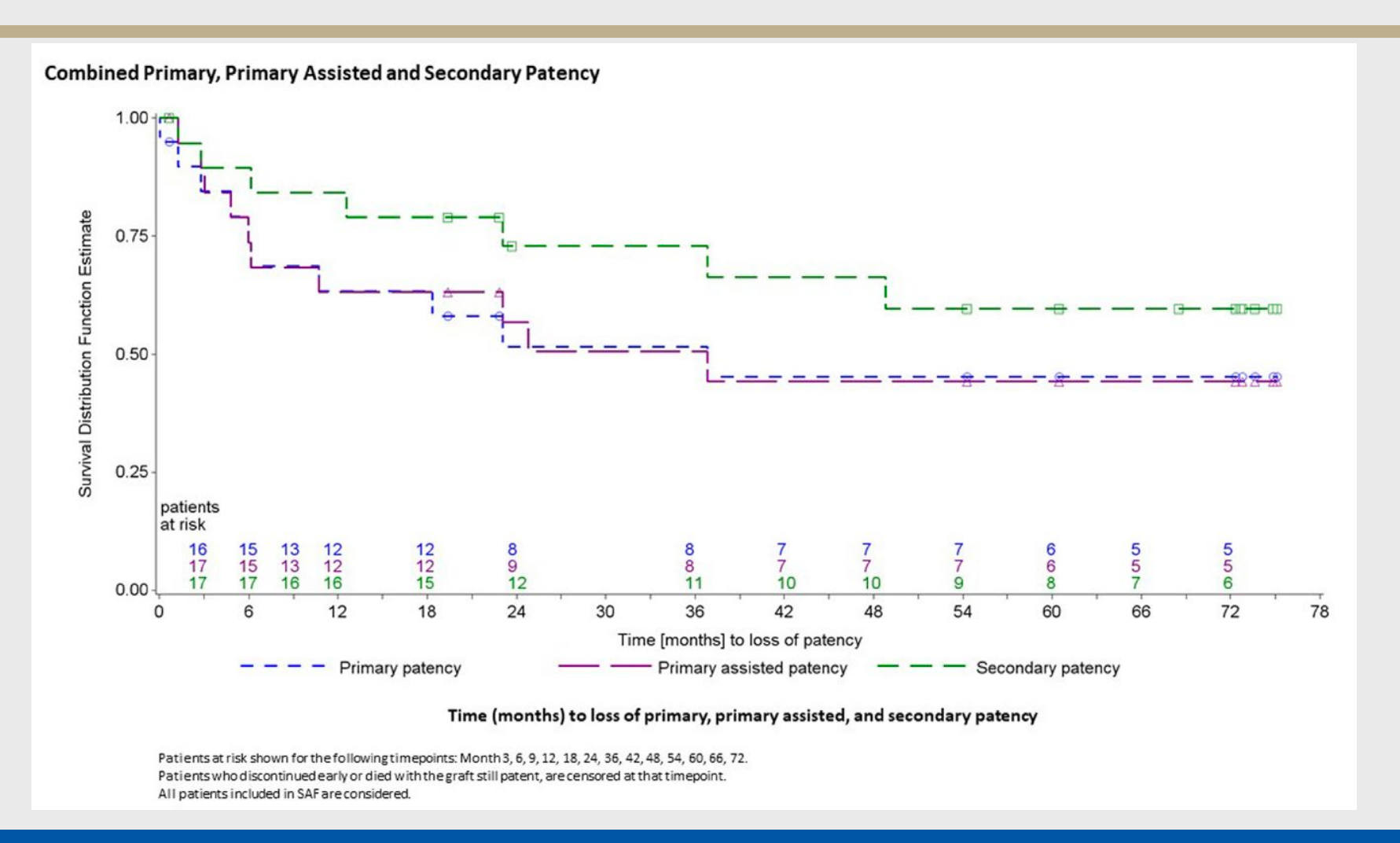
### 6-Jahres-Ergebnisse einer Phase-II-Studie mit humanen, mittels tissue engeneering hergestellten Blutgefäßen Gutowski P et al. JVS Vasc Sci 2023;4:1-9

Stratifikation der Patienten nach Offenheitsstatus und Follow-up



### 6-Jahres-Ergebnisse einer Phase-II-Studie mit humanen, mittels tissue engeneering hergestellten Blutgefäßen Gutowski P et al. JVS Vasc Sci 2023;4:1-9

#### Primäre, primär-assistierte und sekundäre Offenheitsraten



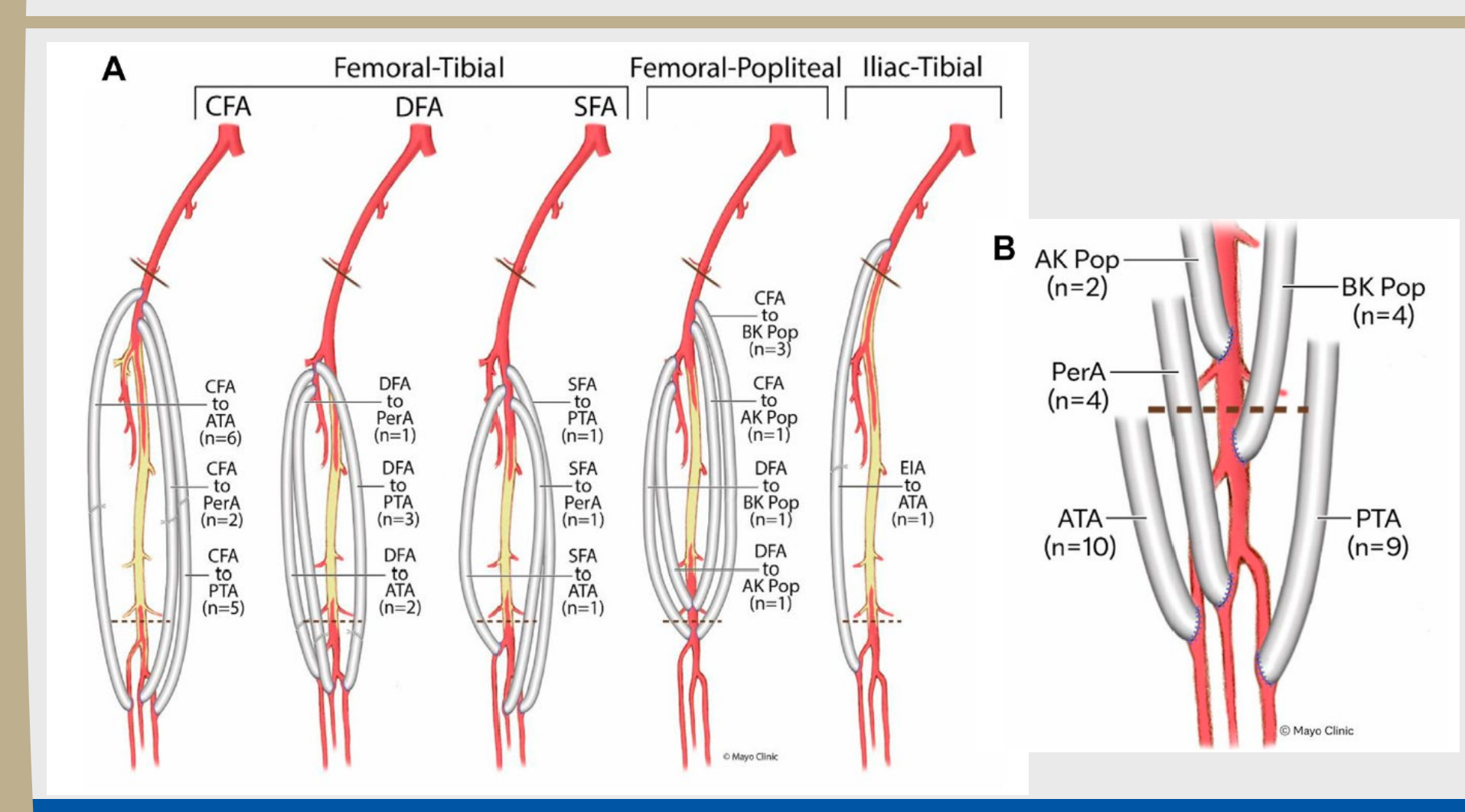
### **HAV** – Hintergrund, Herstellung des HAVs

- PatientInnen mit chronischer Extremitäten-bedrohender Ischämie (CLTI) und ohne Verfügbarkeit der V. saphena magna für einen arteriellen Bypass haben trotz Fortschritten der medizinischen und endovaskulären therapeutischen Möglichkeiten ein hohes Amputationsrisiko.
- Ergebnisse einer durch die U.S. Food and Drug Administration (FDA) unterstützten Studie des Human Acellular Vessel (HAV) (Humacyte Inc.) bei Anwendung als Blutleiter für einen arteriellen Bypass bei PatientInnen mit CLTI und nicht geeignetem oder fehlendem autologem Bypassmaterial
- Das HAV ist ein 6-mm x 40-cm Gefäß, welches aus humanen glatten Muskelzellen hergestellt wird, indem diese mittels Seeding unter pulsatilem Fluss in einem Bioreaktor auf eine Matrix (Scaffold) aus Polyglycolsäure aufgebracht werden. Binnen 8 Wochen im Bioreaktor proliferieren die Zellen, während sich das Scaffold auflöst. Das resultierende Gefäß ist dezellularisiert und kann nun als nichtimmunogener Blutleiter, bestehend aus Kollagen, Elastin und extrazellulärer Matrix verwendet werden.

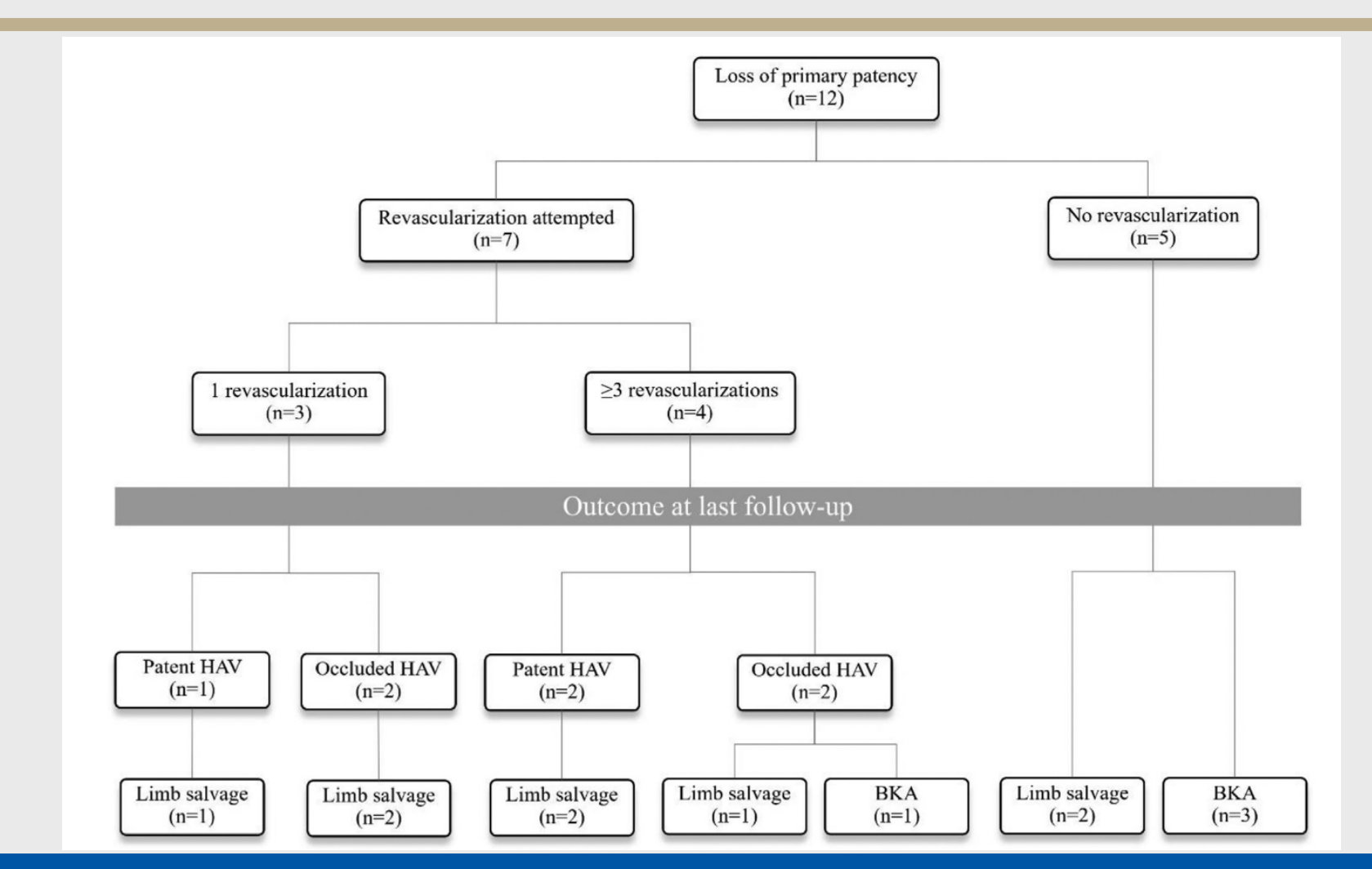
### Zuasammenfassung der Studiendaten

- Zwischen März 2021 und Juli 2023 wurden 29 Patienten (20 männlich; mittleres Alter, 71 ± 11 Jahre) mit dem Ziel des Extremitätenerhaltes unter Verwendung eines HAV als Bypassmaterial operiert. Die meisten PatientInnen hat denn eine fortgeschrittene CLTI (Rutherford Stadium 5/6 bei 72 %; WIfl Stadium 3/4 bei 83 % und 97 % hatten zuvor bereits frustrane Revaskularisationen der betroffenen Extremität.
- Bei 24 PatientInnen (83 %) wurden 2 HAVs mittels Naht zu einem Bypass entsprechender Länge hintereinandergeschaltet. Die Bypässe hatten als distalen crurale Arterien bei 23 PatientInnen (79 %) und die A. poplitea bei 6 PatientInnen (21 %).
- Die Operation war in 100 % technisch erfolgreich. Die 30-Tage-Mortalitätsrate betrug 7 % (n = 2). Bei 100 % Follow-up (median 9,3 Monate) war die Rate für den Extremitätenerhalt 86 % (25/29 PatientInnen). Es erfolgten 16 Reinterventionen zur Erhaltung der sekundären Offenheit, von denen 15 (94 %) erfolgreich verliefen. Die primäre und sekundäre Offenheitsrate des HAV nach 9 Monaten betrug jeweils 59 % und 71 %.

### Bypass-Konfigurationen von HAVs bei 29 Patienten

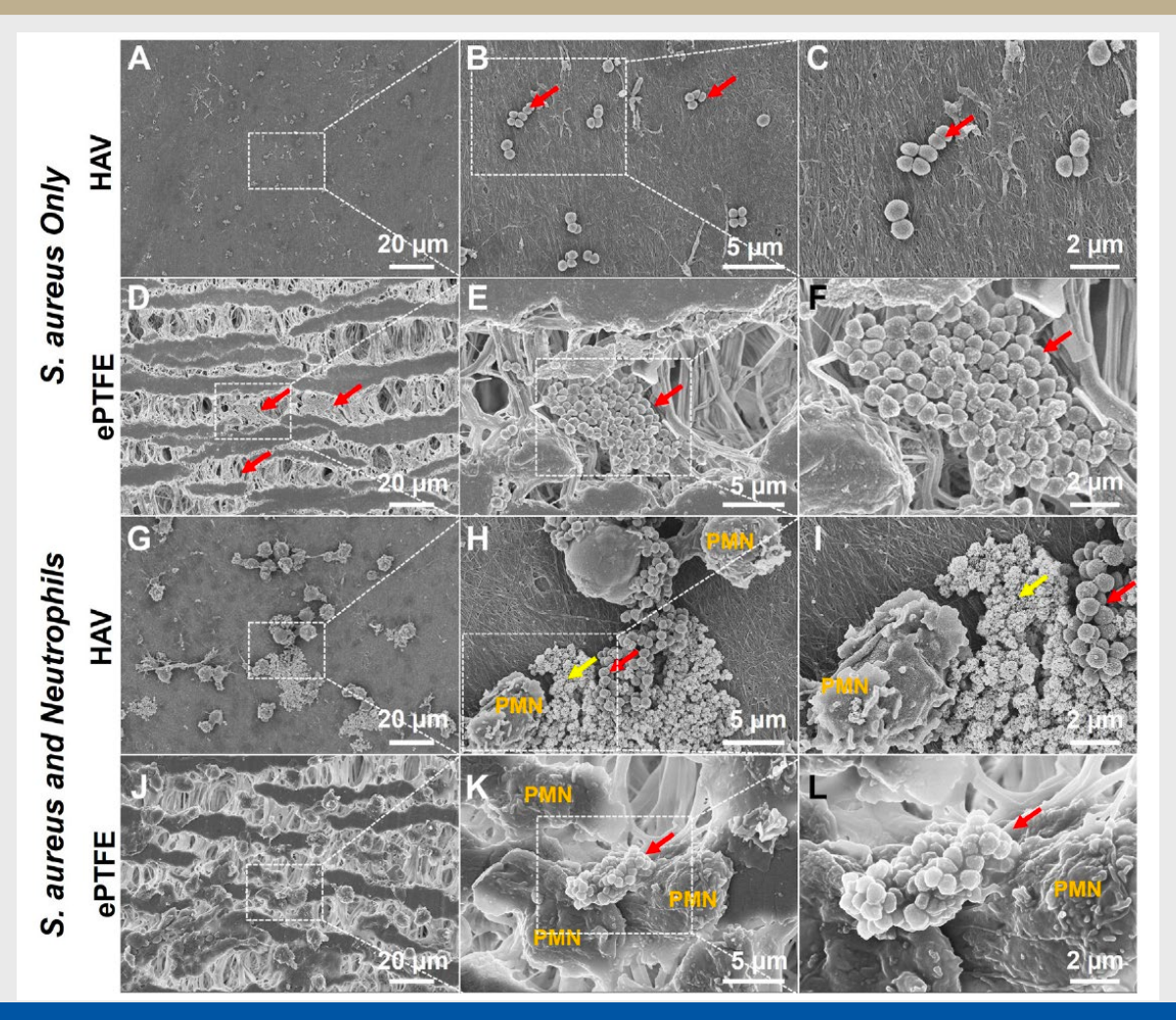


Klinischer Verlauf nach Verschluss des HAV (Verlust PP)



# Mechanismen der Infektresistenz von mittels Tissue-engineering hergestellten Blutgefäßen im Vergleich zu ePTFE Prothesen Wang S et al. JVS Vasc Sci 2023;4:100120

### Neutrophile und Bakterien in Cokultur auf HAV vs. ePTFE



### Fazit für Klinik und Praxis

### **Human Acellular Vessel HAV**

- Das HAV hat im kurz-und mittelfristigen Verlauf die Sicherheit und Wirksamkeit als arterielles Bypassmaterial in einer komplexen Kohorte von Patientinnen mit CLTI und ohne Option für eine autologe Revaskularisation unter Beweis gestellt.
- Diese Erfahrung unter Nutzung des Expanded Access Programms der FDA liefert real-world Daten für regulatorische Überlegungen und zukünftige Studien des HAV
- Das infektresistente, "off-the-shelf" verfügbare HAV könnte einen dauerhaften, alternativen Gefäßersatz zur Aufrechterhaltung oder Wiederherstellung der Durchblutung der Extremitäten für Patienten mit PAVK, darstellen, der sich durch Remodeling mit der Zeit in ein Patienten-eigenes Gefäß umwandelt.
- Das HAV wird derzeit in 7 klinischen Studien zur Behandlung der PAVK, von Gefäßtraumata und als Hämodialyse-Shunt untersucht.

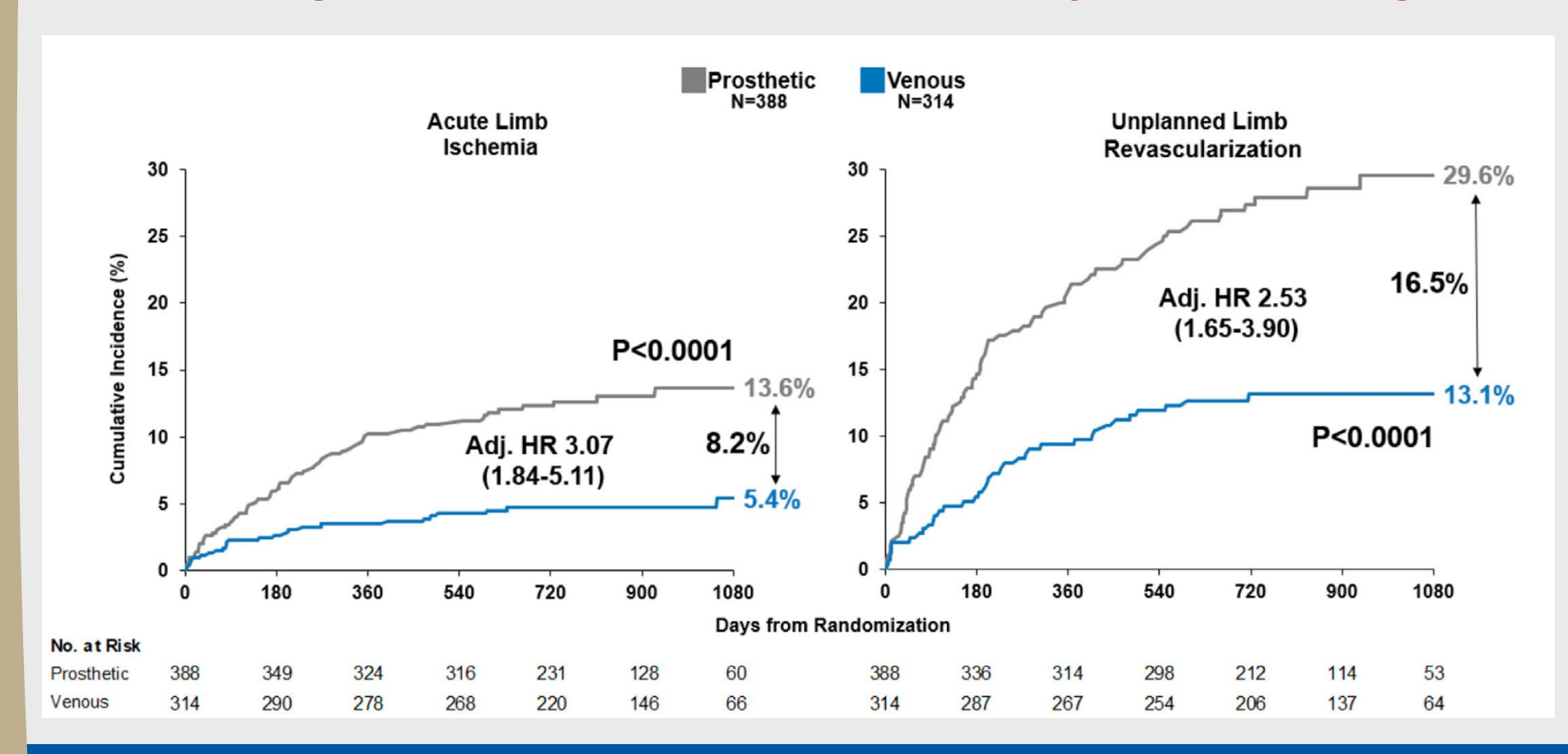
# Perioperatives Management

Govsyeyev et al. J Vasc Surg. 2023;77:1107-1118

- Von den 6.564 randomisierten Patientin hatten 2.185 (33 %) eine gefäßchirurgische Revaskularisation der unteren Extremiäten erhalten. Von diesen 2.185 Patienten war. bei 1.448 (66 %) eine Bypassanlage erfolgt, die bei 773 Patienten (53 %) eine alloplastische Prothese und bei 646 Patienten (45 %) eine autologe Vene verwendet hatte.
- Eine **Adjustierung** erfolgte für Alter, Geschlecht, arterielle Hypertonie, Raucher-Status, Diabetes, Ausgangs-GFR < 60 ml/min/1,73 m2, anamnestisch periphere Revascularization, CLTI, Amputation und distale Empfänerarterie des Bypass.
- Daher: Adj. HR Adjustierte Hazard Ratio.

Govsyeyev et al. J Vasc Surg. 2023;77:1107-1118

### 3-Jahres-Ergebnisse für Prothesen- und Venenbypass: Placebogruppe



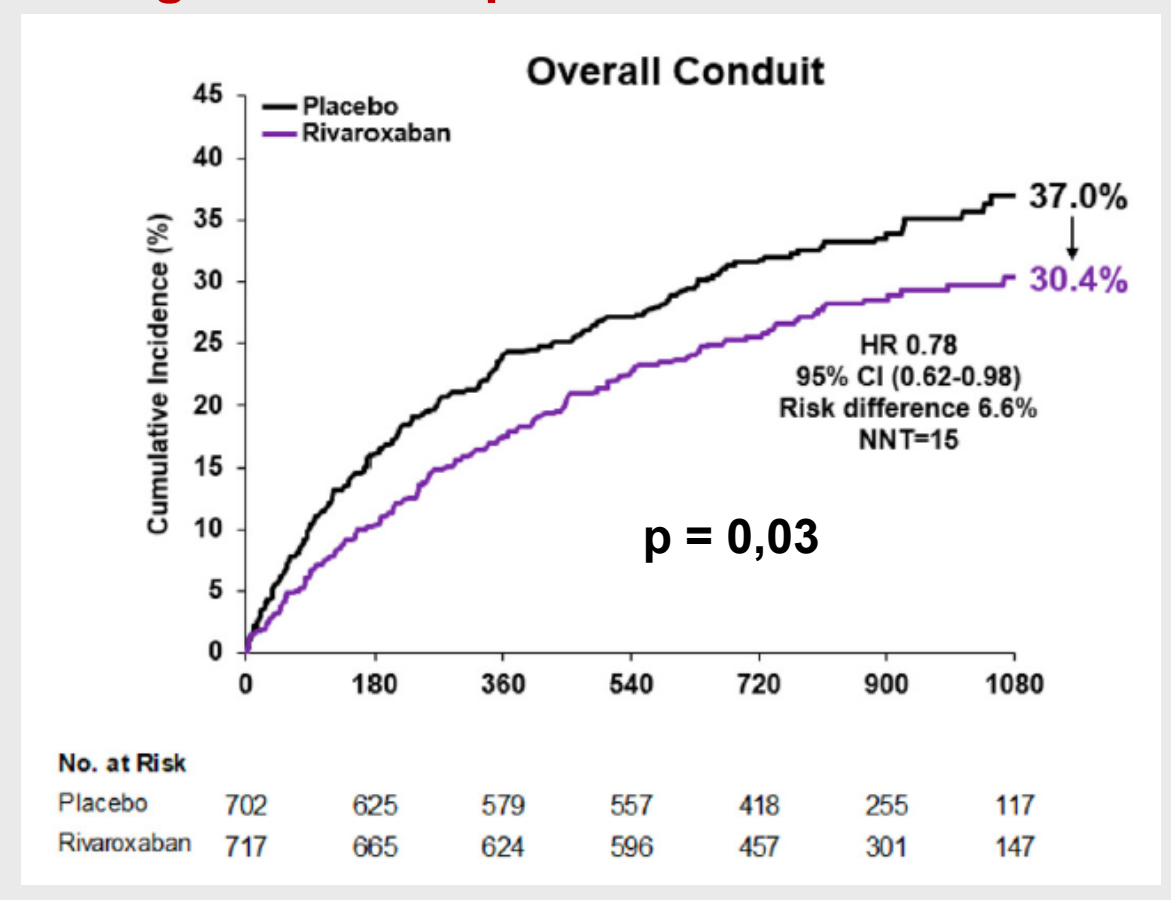
Govsyeyev et al. J Vasc Surg. 2023;77:1107-1118

#### Forrest plot: Wirksamkeit bei Patienten mit Bypass

Characteristic	Rivaroxaban (N=717)	Placebo (N=702)		HR (95% CI)	P-interaction
	Patients with event	Patients with eve	nt		
	no. (%)	no. (%)			
Primary efficacy outcome	140 (19.5)	168 (23.9)	I <b>♦</b> I	0.78 (0.62, 0.98)	0.254
Venous	49 (14.8)	66 (21.0)	⊢■⊣	0.66 (0.46, 0.96)	
Prosthetic	91 (23.6)	102 (26.3)	H <b>=</b> H	0.87 (0.66, 1.15)	
Major adverse limb event	90 (12.6)	115 (16.4)	<b>I</b> ◆I	0.73 (0.56, 0.97)	0.263
Venous	26 (7.8)	40 (12.7)	<b>⊢</b> ■→	0.59 (0.36, 0.96)	
Prosthetic	64 (16.6)	75 (19.3)	<b>⊢</b> ■+	0.83 (0.59, 1.15)	
Acute limb ischemia	65 (9.1)	87 (12.4)	+++	0.70 (0.51, 0.97)	0.169
Venous	13 (3.9)	25 (8.0)	<b>⊢</b> ■	0.47 (0.24, 0.93)	
Prosthetic	52 (13.5)	62 (16.0)	<b>⊢</b> ■+	0.81 (0.56, 1.17)	
Major vascular amputation	49 (6.8)	54 (7.7)	<b>⊢</b>	0.87 (0.59, 1.28)	0.229
Venous	18 (5.4)	25 (8.0)	<b>⊢</b> ■	0.66 (0.36, 1.21)	
Prosthetic	31 (8.1)	29 (7.5)	H=-1	1.07 (0.64, 1.77)	
			0.6 1.0 1.7		

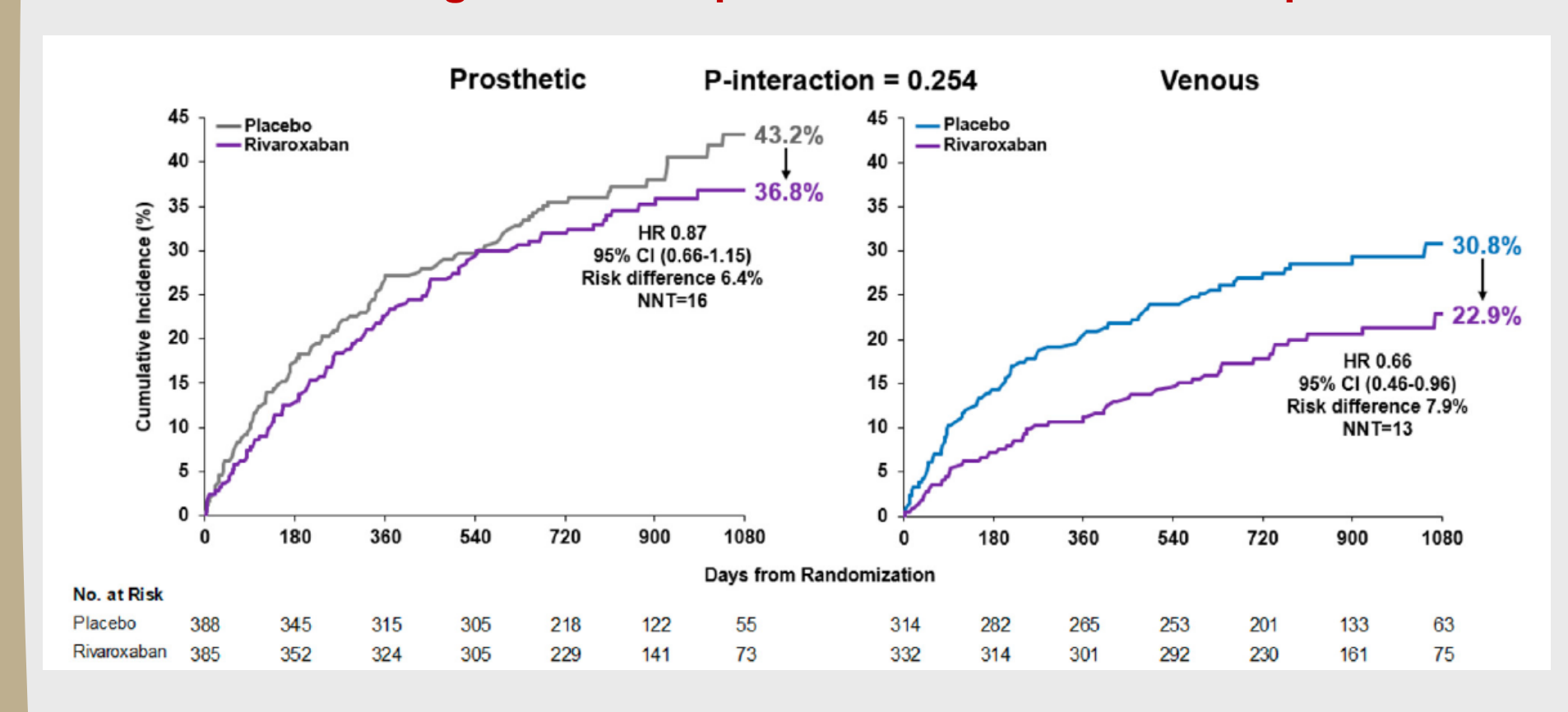
Govsyeyev et al. J Vasc Surg. 2023;77:1107-1118

#### 3-Jahres-Ergebnisse für primären kombinierten Endpunkt



Govsyeyev et al. J Vasc Surg. 2023;77:1107-1118

#### 3-Jahres-Ergebnisse für primären kombinierten Endpunkt



Govsyeyev et al. J Vasc Surg. 2023;77:1107-1118

- Nach Adjustierung hinsichtlich unterschiedliche Ausgangsdaten und anatomischer Faktoren war das Risiko für eine ungeplante Revaskularisation der Extremität im Placebo-Arm 2,5-fach höher nach Prothesen- vs. Venenbypass (adjustierte Hazard Ratio [HR] 2,53; 95 %-Konfidenzintervall [CI] 1,65–3,90; p < 0,001) und das Risiko für eine akute Extremitätenischämie war dreimal höher (adjustierte HR 3,07; 95 %-CI 1,84–5,11; p < 0,001).</p>
- Die Einnahme von Rivaroxaban reduzierte den primären Endpunkt für die mittels Bypasses behandelten Patienten (HR 0,78; 95 %-Cl 0,62–0,98), mit durchgängigen Vorteilen für diejenigen Patienten, die einen Venenbypass (HR 0,66; 95 %-Cl 0,49–0,96) oder einen Prothesenbypass (HR 0,87; 95 %-Cl 0,66–1,15) erhalten hatten (P<sub>interaction</sub> = 0,254).

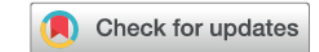
### Fazit für Klinik und Praxis

### **VOYAGER PAD für Bypass**

- Ein Prothesenbypass war mit einer signifikant höheren Rate von schweren Extremitätenereignissen (major adverse limb events-MALE) in Relation zum Venenbypass, auch nach Adjustierung für Patienten- und anatomische Charkteristika, assoziiert.
- Der Zusatz von 2 x 2,5 mg Rivaroxaban zu Aspirin oder einer dualen Thrombozytenaggregationshemmung verringerte dieses Risiko signifikant.
- Das Risiko einer Blutung stieg an, aber das Nutzen-Risiko-Verhältnis blieb vorteilhaft für die Patienten mit Bypass, unabhängig vom Bypassmaterial.
- Daher sollte Rivaroxaban nach einem Bypass im Bereich der unteren Extremitäten wegen einer PAVK in Betracht gezogen werden, um das Risiko ischämischer Komplikationen von Herz, Extremitäten und Gehirn zu verringern.

### State of the Art

#### SOCIETY FOR VASCULAR SURGERY DOCUMENT



A framework for perioperative care for lower extremity vascular bypasses: A Consensus Statement by the Enhanced Recovery after Surgery (ERAS®) Society and Society for Vascular Surgery

Katharine L. McGinigle, MD, MPH,<sup>a</sup> Emily L. Spangler, MD, MS,<sup>b</sup> Katie Ayyash, MBChB, BSc, FRCA, MSc,<sup>c</sup> Shipra Arya, MD, MS,<sup>d</sup> Alberto M. Settembrini, MD,<sup>e</sup> Merin M. Thomas, PA-C,<sup>f</sup> Kate E. Dell, DNP, AGACNP-BC,<sup>g</sup> Iris J. Swiderski, DHSc, MPAS, PA-C,<sup>h</sup> Mark G. Davies, MD, PhD, MBA,<sup>i</sup> Carlo Setacci, MD,<sup>j</sup> Richard D. Urman, MD, MBA,<sup>k</sup> Simon J. Howell, MA, MRCP, FRCA, MSc, MD,<sup>l</sup> Joy Garg, MD,<sup>m</sup> Olle Ljungvist, MD, PhD,<sup>n</sup> and Hans D. de Boer, MD, PhD, BC,<sup>o</sup> Chapel Hill, NC; Birmingham, AL; Palo Alto, and San Leandro, CA; New Hyde Park, NY; Lafayette, IN; Melbourne, FL; San Antonio, TX; Boston, MA; York, and Leeds, United Kingdom; Milan, and Siena, Italy; Orebro, Sweden; and Groningen, the Netherlands